

UNIVERSIDAD DEL AZUAY FACULTAD DE CIENCIA Y TECNOLOGÍA ESCUELA DE INGENIERÍA CIVIL Y GERENCIA EN CONSTRUCCIONES

Evaluación de la resistencia a compresión simple del material extraído de la mina de Musmus sector Chordeleg, estabilizada con cemento tipo MH.

Trabajo de graduación previo a la obtención del título de:

INGENIERO CIVIL CON ÉNFASIS EN GERENCIA DE CONSTRUCCIONES

Autoras:

LISSETH ANTONIETA ALVARADO TENEZACA
DIANA ANDREA PORTILLA DELGADO

Director:

ROLANDO ARMAS NOVOA

CUENCA – ECUADOR

2020

DEDICATORIA

Quiero dedicar el proyecto de tesis primeramente a Dios, por ser quien me ha permitido llegar hasta este momento tan importante de mi formación profesional. A mis padres, por ser el pilar fundamental en mi vida, por ayudarme siempre en los momentos más duros y ser un apoyo incondicional. También quiero dedicar este trabajo a mi pequeña hija y a mi esposo, por ser mi motivación y estar presente en mis sueños y en mis metas.

Diana Andrea Portilla Delgado

DEDICATORIA

Dedico este trabajo a mis padres y a toda mi familia, en especial, a mi abuelita Violeta, quien siempre fue una fuente de inspiración y de fuerza, en momentos difíciles. A mis compañeros y amigos, que han estado conmigo desde el inicio del caminar universitario, con quienes hemos superado obstáculos y hoy podemos llamarnos colegas.

Lisseth Antonieta Alvarado Tenezaca

AGRADECIMIENTO

Queremos agradecer al Ingeniero Rolando Armas Novoa, por ser el mentor en este proceso de trabajo de titulación, por su paciencia, su apoyo y por dedicar parte de su valioso tiempo a la realización de este proyecto; al Ingeniero Jorge León Llanes, quién solventó dudas e inquietudes con respecto a varios aspectos de este trabajo y de igual manera a los miembros de nuestro tribunal: el Ing. Esteban Cabrera y el Ing. José Vázquez.

A la Universidad del Azuay y a cada miembro del equipo docente, personas de gran trayectoria, con su esfuerzo diario nos ayudaron en esta larga travesía, mediante conocimientos y valores.

Un agradecimiento especial a la empresa Holcim Ecuador S.A. y al GAD de Chordeleg por facilitar los materiales empleados en este proyecto de titulación.

Por último y no menos importante, queremos agradecer a nuestros padres, hermanos compañeros y parejas, quienes, de diferentes formas, poco a poco nos apoyaron y nos ayudaron a culminar esta etapa de nuestras vidas.

ÍNDICE DE CONTENIDOS

DEDICATORIA	ii
DEDICATORIA	iii
AGRADECIMIENTO	iv
ÍNDICE DE CONTENIDOS	V
ÍNDICE DE FIGURAS	vii
ÍNDICE DE TABLAS	viii
INDICE DE ANEXOS	ix
RESUMEN	x
ABSTRACT	xi
CAPÍTULO I	1
INTRODUCCIÓN	1
1.1 Problemática	1
1.2 Motivación de la investigación	1
1.3 Objetivos	1
1.3.1 Objetivo general	1
1.3.2 Objetivos específicos	2
1.4 Alcances y resultados esperados	2
1.5 Supuestos y riesgos	2
CAPITULO 2	3
MARCO TEÓRICO	3
2.1 Generalidades	3
2.2 Compactación de suelos	4
2.3 Estabilización de suelos	5
CAPITULO 3	7
MATERIALES Y MÉTODOS	7

3.1 Descripción general de la mina Musmus	. 7
3.2 Toma de muestras de la mina	. 8
3.3 Ensayos para obtener los parámetros físicos y mecánicos del material	. 8
3.3.1 Contenido de agua (ω)	. 8
3.3.2 Análisis granulométrico	. 9
3.3.3 Límites de consistencia	. 9
3.3.4 Gravedad específica del suelo	. 9
3.3.5 Clasificación de los suelos	10
3.3.6 Ensayo de compactación Proctor Modificado	10
3.3.7 Compresión simple	10
CAPÍTULO 4	11
ANÁLISIS DE LOS RESULTADOS	11
4.1 Propiedades físicas del suelo natural	11
4.1.1 Contenido de agua	11
4.1.2 Granulometría del suelo natural	12
4.1.3 Límites de consistencia del suelo natural	13
4.1.4 Clasificación del suelo natural	13
4.1.5 Gravedad específica del suelo natural (Gs)	14
4.2 Límites de consistencia de suelo estabilizado con cemento	14
4.3 Propiedades mecánicas del suelo natural y mezclado con cemento	16
4.3.1 Ensayo de compactación Proctor Modificado del suelo natural	16
4.3.2 Ensayo de compactación Proctor Modificado del suelo estabilizado con 2	%
de cemento	17
4.3.3 Ensayo de compactación Proctor Modificado del suelo estabilizado con 4	
de cemento	19
4.4 Resultados del ensayo de compactación Proctor Modificado del suelo natural	
suelo estabilizado con cemento	
4.5 Ensayo a Compresión Simple	22

4.5.1 Determinacion de la resistencia a compresion simple
CAPÍTULO 5
CONCLUSIONES Y RECOMENDACIONES
5.1 Conclusiones
5.2 RECOMENDACIONES27
BIBLIOGRAFÍA
CAPÍTULO 6
ANEXOS
ÍNDICE DE FIGURAS
Figura 2-1: Principio de Compactación
Figura 2-2: Principio de Compactación
Figura 3-1: Localización geográfica de la Mina Musmus
Figura 4-1: Curvas granulométricas del suelo natural
Figura 4-2: Variación de los límites de consistencia en función con el contenido de
cemento en la mezcla
Figura 4-3: Curva de compactación y saturación del suelo natural- muestra 1 16
Figura 4-4: Curva de compactación y saturación del suelo natural – muestra 2 16
Figura 4-5: Curva de compactación y saturación del suelo natural – muestra 3 17
Figura 4-6: Curva de compactación y saturación del suelo estabilizado con 2 % de
cemento- muestra 1
Figura 4-7: Curva de compactación y saturación del suelo estabilizado con 2 % de
cemento- muestra 2
Figura 4-8: Curva de compactación y saturación del suelo estabilizado con 2 % de
cemento- muestra 3
Figura 4-9: Curva de compactación y saturación del suelo estabilizado con 4 % de
cemento- muestra 1
Figura 4-10: Curva de compactación y saturación del suelo estabilizado con 4 % de
cemento– muestra 2

Figura 4-11: Curva de compactación y saturación del suelo estabilizado con 4 % de
cemento- muestra 3
Figura 4-12: Contenido de cemento en porcentaje vs contenido de agua óptimo del
Proctor modificado
Figura 4-13: Contenido de cemento en porcentaje vs Densidad seca máxima del
Proctor Modificado. 21
Figura 4-14: Curva Proctor Modificado y curva de resistencia a la compresión simple
del suelo natural. 24
Figura 4-15: Curva Proctor Modificado y curva de resistencia a la compresión simple
del suelo estabilizado con 2% de cemento.
Figura 4-16: Curva Proctor Modificado y curva de resistencia a la compresión simple
del suelo estabilizado con 4% de cemento
ÍNDICE DE TABLAS
Tabla 4.1: Promedio del contenido de agua del suelo natural
Tabla 4.2: Resumen de los resultados del ensayo de granulometría
Tabla 4.3: Límite líquido, plástico e índice plástico del suelo natural
Tabla 4.4: Gravedad específica del suelo natural
Tabla 4.5: Límites de consistencia del suelo natural estabilizado con 2 % de cemento.
Tabla 4.6: Límites de consistencia del suelo natural estabilizado con 4 % de cemento.
Tabla 4.7: Límites de consistencia en función del contenido de cemento en la mezcla.
Tabla 4.8: Resultados y promedio del ensayo Proctor Modificado de suelo natural. 17
Tabla 4.9: Resultados y promedio del ensayo Proctor Modificado de suelo estabilizado
con 2 % de cemento.
Tabla 4.10: Resultados y promedio del ensayo Proctor Modificado de suelo
estabilizado con 4 % de cemento.
Tabla 4.11: Ensayo compresión simple suelo natural
Tabla 4.12: Ensayo compresión simple del suelo estabilizado con 2 % de cemento. 23
Tabla 4.13: Ensayo compresión simple del suelo estabilizado con 4 % de cemento. 23
Tabla 4.14: Tabla resumen del ensayo de compresión simple

INDICE DE ANEXOS

Anexo 1: Contenido de agua del suelo natural
Anexo 2:Ensayos de granulometría del suelo natural
Anexo 3: Limites de consistencia de suelo natural
Anexo 4: Determinación de la gravedad específica del suelo natural4
Anexo 5: Determinación de los Límites de Consistencia de las muestras estabilizada
con 2% y 4% de cemento
Anexo 6: Determinación de los límites de consistencia, Muestra 1, 2 y 3 estabilizada
con 4% de cemento
Anexo 7: Ensayo Proctor Modificado del Suelo Natural
Anexo 8: Ensayo Proctor modificado del suelo estabilizado con 2% de cemento 5'
Anexo 9:Ensayo Proctor Modificado del Suelo estabilizado con 4% de cemento 60
Anexo 10: Ensayo de Compresión Simple del suelo natural
Anexo 11: Compresión simple del suelo estabilizado con 2% de cemento 64
Anexo 12: Compresión simple suelo estabilizado con 4% de cemento 6:

EVALUACIÓN DE LA RESISTENCIA A COMPRESIÓN SIMPLE DEL MATERIAL EXTRAÍDO DE LA MINA DE MUSMUS, SECTOR CHORDELEG, ESTABILIZADA CON CEMENTO TIPO MH

RESUMEN

En el presente trabajo de investigación se muestran los resultados experimentales de la resistencia a la compresión simple del suelo, de la mina Musmus, y mezclado con cemento Holcim tipo MH en porcentajes 2 y 4, en relación al peso seco del material natural; para ello, se realizó el ensayo de compresión simple sobre las muestras compactadas utilizando la energía de compactación Proctor Modificado y diferentes humedades con el suelo natural y el suelo estabilizado con cemento. Los resultados obtenidos nos muestran que existe un incremento de la resistencia a la compresión simple con el aumento del porcentaje de cemento.

Rolando Armas Novoa

Director del Trabajo de Titulación

José Fernando Vázquez Calero

DSHOWN C.

Coordinador de la Escuela

Lisseth Antonieta Alvarado Tenezaca

Autora

Diana Andrea Portilla Delgado

Autora

EVALUATION OF SIMPLE COMPRESSION STRENGTH OF MATERIAL EXTRACTED FROM THE MUSMUS MINE IN CHORDELEG, STABILIZED WITH MH TYPE CEMENT

ABSTRACT

This research shows the results of resistance to simple soil compression at the Musmus mine, mixed with Holcim cement type MH in percentages 2 and 4, in relation to the dry weight of the natural material. The simple compression test was carried out on the compacted samples by using the Modified Proctor compaction energy and different humidities with the natural soil and the soil stabilized with cement. The results obtained shows that there is an increase in resistance to simple compression with an increase in the percentage of cement.

Rolando Armas Novoa

Thesis Director

José Fernando Vázquez Calero

DESCONTINE C

Faculty Coordinator

Lisseth Antonieta Alvarado Tenezaca

Author

Diana Andrea Portilla Delgado

Author

Translated by

Lisseth Alvarado

Diana Portilla

CAPÍTULO I

INTRODUCCIÓN

1.1 Problemática

Para cualquier tipo de construcción civil es necesario el movimiento de áridos, tanto para realizar morteros y hormigones en construcción, como para la compactación de vías en zonas rurales, lo que genera un incremento en costos por el transporte y manipulación del material desde las canteras hasta el lugar de construcción, concluyendo con el constante mantenimiento de vías.

En la actualidad no se conoce cuáles son las propiedades físico-mecánicas del suelo natural de la mina del sector Musmus, y cómo las mismas cambian o varían al ser mezcladas con cemento Holcim tipo MH, en proporción de 2% y 4% de cemento con relación a la masa de suelo seco.

1.2 Motivación de la investigación

En este trabajo se pretende conocer el comportamiento y las propiedades físicomecánico del suelo de la mina del sector de Musmus, ubicada en el cantón Chordeleg de la provincia del Azuay; para de esta manera mejorar sus propiedades con cemento Holcim tipo MH. Cuyos aportes servirán posteriormente como una opción para la estabilización de suelos, ya que el GAD Municipal de Chordeleg usa este tipo de árido en la construcción y mantenimiento de vías del sector rural.

A través de la estabilización de suelos, las vías tienen una prolongada duración de aproximadamente 4 años y se reduce los costos de mantenimiento, lo cual resulta beneficioso.

1.3 Objetivos

1.3.1 Objetivo general

Determinar las propiedades físicas del material de la mina Musmus y la resistencia a compresión simple de dicho material compactado, sin estabilizar con cemento y estabilizado con 2% y 4% de cemento tipo MH, con relación a la masa de suelo seco.

1.3.2 Objetivos específicos

- 1. Determinar los límites de consistencia, la humedad óptima y la densidad seca máxima del Proctor Modificado del suelo en estado natural.
- 2. Clasificar el suelo mediante los sistemas AASHTO y SUCS.
- 3. Determinar la resistencia a la compresión simple del suelo natural y estabilizado con 2% y 4% de cemento con relación a la masa de suelo seco después de compactado con la energía del Proctor Modificado.
- 4. Determinar los límites de consistencia, la humedad óptima y la densidad seca máxima del Proctor Modificado del suelo estabilizado con 2% y 4% de cemento con relación a la masa de suelo seco.
- 5. Comparar la variación de los límites de consistencia, la humedad óptima, la densidad seca máxima y la resistencia a la compresión simple del suelo natural compactado y estabilizado con 2% y 4% de cemento con relación a la masa del suelo seco.

1.4 Alcances y resultados esperados

- 1. Obtener resultados de los ensayos del suelo en su estado natural y del suelo estabilizado con cemento.
- 2. Analizar en qué proporciones las propiedades del suelo natural mejoran con la estabilización de cemento.

1.5 Supuestos y riesgos

- 1. Por las constantes lluvias, el suelo puede poseer contenidos de agua muy altos, dificultar la manipulación y el transporte hacia los laboratorios, atrasando el proceso.
- 2. Que el equipo necesario para realizar los ensayos esté en reparación o que aún no estén implementados en la Universidad.
- 3. Que el laboratorio esté saturado de trabajo y se tenga que retrasar los ensayos.
- 4. Que, ante la falta de experiencia, los ensayos no tengan resultados coherentes y se precise repetir los procesos.
- 5. Que la universidad suspenda el uso de los laboratorios durante el periodo de vacaciones.

CAPITULO 2

MARCO TEÓRICO

2.1 Generalidades

El suelo es utilizado desde épocas remotas para edificar templos, palacios, depósitos y las mayorías de viviendas y caminos en las civilizaciones prehispánicas; esta arquitectura debía recibir periódicamente mantenimiento con tierra y combinación de sustancias cuyo origen era natural. Sin embargo, las condiciones climáticas en ciertas regiones obligaron al uso de materiales más resistentes como la piedra y la cal. Por ello, desde aquellas épocas se utilizaban pequeñas cantidades de hidróxido de calcio para incrementar la resistencia mecánica de la tierra y ofrecer así una mayor protección ante los agentes atmosféricos. Paulatinamente, esta técnica fue desplazada con el paso de los siglos con la incorporación del cemento en técnicas constructivas más industrializadas.

Según los arquitectos Guerrero Baca F. & Soria López F., (2019) a partir de la segunda guerra mundial, se ha utilizado la estabilización con cal principalmente en subbases de carreteras, vías del ferrocarril y presas. Por tal motivo ha continuado el estudio y la investigación de este método estabilizante, construyendo normas y técnicas, utilizadas en países desarrollados.

Terzaghi, (1943), dice: "La mecánica de suelos es la aplicación de las leyes de la mecánica y la hidráulica que tratan con sedimentos y otras acumulaciones no consolidadas de partículas sólidas, producidas por la desintegración mecánica o descomposición química de las rocas, independientemente de que tengan o no materia orgánica".

La estabilización o modificación de subrasantes de pavimentos de carreteras y aeropuertos con el empleo de cemento, es una práctica probada y establecida en Estados Unidos. La adición de cemento a suelos de grano fino tiene efectos beneficiosos sobre las propiedades del material, entre ellos la reducción de la plasticidad y potencial de hinchamiento, mejor trabajabilidad, mayor rigidez, resistencia y durabilidad. La mayoría de los estudios de diseños de pavimentos que involucran aditivos de cemento han demostrado que, cuando se presta atención al diseño de materiales, diseño estructural, durabilidad y construcción de las subrasantes

estabilizadas con cemento, superan a las que no contienen dicho material, mejorando su rendimiento. (Mallela, Quintus, & Smith, 2004)

2.2 Compactación de suelos

Se considera como compactación a la densificación que sufre el suelo debido a la remoción de aire implementando energía mecánica; ésta se mide en términos del peso específico seco del suelo. A medida que aumenta el contenido de agua, el peso específico seco incrementa con la compactación. Sin embargo, se debe considerar que cualquier incremento del contenido de agua tiende a reducir el peso específico seco después de llegar a cierto valor, dado que el líquido ocupa espacios que podrían haber estado ocupados por las partículas sólidas del suelo.

Das, (2001), menciona que: "El grado de compactación de un suelo se mide en términos de su peso específico seco. Cuando se agrega agua al suelo durante la compactación, esta actúa como un agente ablandador de las partículas del suelo, provocando que se deslicen entre sí y se muevan a una posición de empaque más denso.

El peso específico seco después de la compactación, se incrementa primero conforme aumenta el contenido de agua, en la (Figura 2-1) se observa que hay una determinada humedad, llamada humedad óptima (wópt) en donde el peso específico seco es máximo.

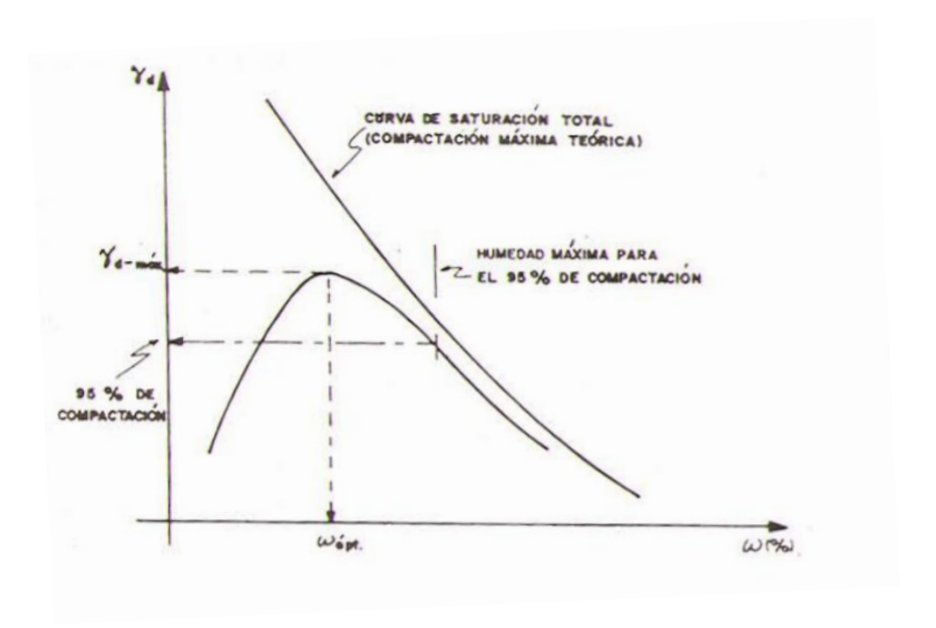


Figura 2-1: Principio de Compactación.

Fuente: Armas Novoa, (2016)

Para la determinación del peso específico seco máximo de compactación y el contenido de agua óptimo se utiliza el ensayo de laboratorio llamado Proctor de Compactación, el cual tiene dos variantes: el método Proctor estándar normado por las determinaciones ASTM D-698 y AASHTO T 99, y Proctor Modificado normado por las determinaciones ASTM D-1557 y AASHTO T 180-01.

De acuerdo con la energía de compactación, cuanto mayor es la energía, mayor es el peso específico seco máximo y más baja la humedad óptima, como se puede observar en la figura 2-2. Por ende, el ensayo de compactación de carreteras se hace con la energía del Proctor Modificado.

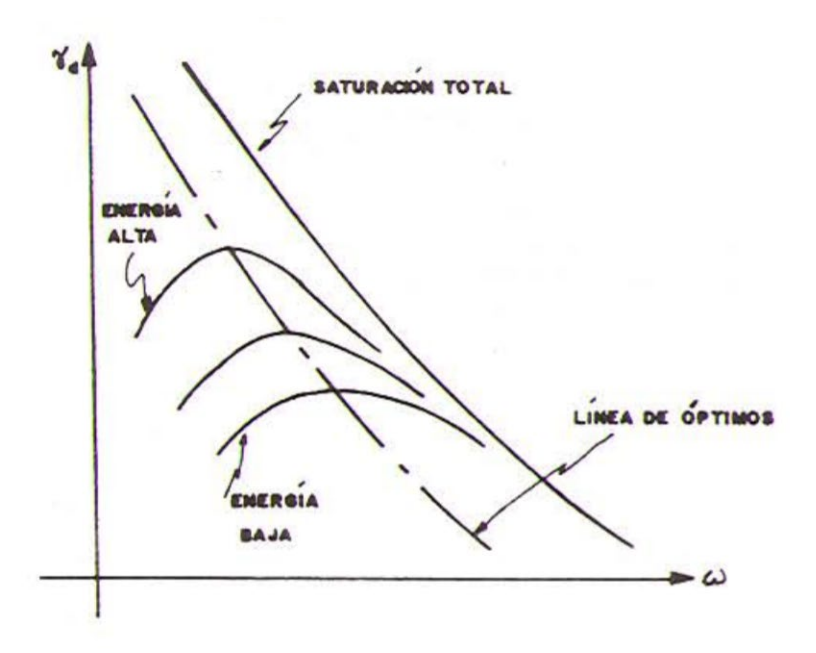


Figura 2-2: Principio de Compactación. Fuente: Armas Novoa, (2016)

2.3 Estabilización de suelos

Se puede definir la estabilización de suelos como la modificación de las propiedades físico-mecánicas del material a tratar, para que cumpla con algunos requerimientos especificados. Existen algunos medios de estabilización como: estabilización física, estabilización mecánica y la estabilización química. En el siguiente documento nos enfocaremos en la estabilización química, específicamente en el cemento.

El mejoramiento de las propiedades físico-mecánicas de un suelo mediante la adición de productos químicos, suele alterar dichas propiedades por dos factores principales, por los cuales los productos químicos se alteran: primero, por un aumento del tamaño de partículas dado por la cementación, aumento de la resistencia al corte, cambio de las propiedades de plasticidad y la reacción del potencial de alteración, y segundo, por la absorción y unión química de la humedad, la cual posteriormente facilitará la compactación. Sin embargo, se debe considerar que la reducción del índice de plasticidad se debe a un aumento del límite plástico, el cual se ve muy afectado por el contenido de cemento y el tiempo de curado.

La estabilización con cemento se desarrolla a partir de los enlaces de cementación que existe entre los productos de hidratación de silicato de calcio y aluminato, y las partículas de suelo y dado que el cemento contiene sílice, la estabilización es independiente de las propiedades del suelo, siendo el único requisito que el suelo a tratar contenga algo de agua para que comience el proceso de hidratación. (Bayat, Asgary, & Mousivand, 2013)

En la estabilización, el tipo de cemento que se use tiene una importancia menor comparada con la dosificación de éste o la densidad que se alcanzará en la compactación, es decir, en muchos casos el uso del cemento dependerá de la disponibilidad y el costo del mismo. Sin embargo, existen ciertas recomendaciones a la hora de elegir un cemento para estabilizaciones, como:

- Inicio y final de fraguado suficientemente largos, de forma que se tenga un mayor tiempo de trabajabilidad.
- Moderado calor de hidratación, con esto se limita los efectos de fisuraciones por retracción (ancho de fisuras y distancia entre ellas), especialmente en épocas calurosas.
- Desarrollo lento de las resistencias y módulos de rigidez a edades tempranas, recuperándolas a largo plazo. Con ello se consigue limitar el efecto de la retracción y los fenómenos iniciales de fatiga inducidos por las cargas del tráfico. (IECA, 2010)

CAPITULO 3

MATERIALES Y MÉTODOS

3.1 Descripción general de la mina Musmus

La mina se encuentra ubicada a cinco minutos del centro de Chordeleg, cantón de la provincia del Azuay y aproximadamente a una hora y media de la ciudad de Cuenca, a unos siete minutos del centro de Chordeleg (Figura 3-1). Se encuentra a una altitud de 2390 m.s.n.m., con un clima frío, semihúmedo, influenciado por el régimen oriental y con una temperatura media de dieciséis grados centígrados, presenta precipitaciones que varían entre 500 a 1000 mm por año. (Segovia Zhispón, 2015)



Figura 3-1: Localización geográfica de la Mina Musmus Fuente: Google Earth

La zona de Chordeleg se caracteriza por la presencia de pendientes pronunciadas; el 38% del cantón tiene pendientes mayores al 50%, por lo cual la actividad ganadera y agrícola es difícil. Además, de acuerdo a la geología, el cantón posee un 43.70% de su territorio con una vulnerabilidad media a la erosión, por su naturaleza geológica. De acuerdo al plan de desarrollo y ordenamiento territorial, realizado en el 2015, existen ocho tipos de suelo en el cantón, entre los que se pueden encontrar suelos derivados de cenizas volcánicas, suelos erosionados muy poco profundos, suelos arcillosos, entre otros. Actualmente el material extraído de la mina Musmus, es utilizado para realizar el mantenimiento de vías de lastre en el Cantón Chordeleg. (GAD Chodeleg, 2014)

3.2 Toma de muestras de la mina

Las muestras se recolectaron con la colaboración del GAD de Chordeleg, dichas muestras se tomaron del punto, mediante coordenadas (-2.9292449,-78.7734785) intentando que la muestra sea lo más representativa y homogénea posible para así conseguir resultados cercanos a la realidad. En el laboratorio de la Universidad del Azuay, se procedió a mezclar, golpear el material con un mazo de goma para evitar grumos de material, debidos al transporte, separar las partes de material mayores a 3" y posteriormente se cuarteó la muestra para poder realizar los diferentes estudios y ensayos.

3.3 Ensayos para obtener los parámetros físicos y mecánicos del material

El material se trasladó al laboratorio de la Universidad del Azuay para la realización de los ensayos de laboratorio, necesarios para conocer los parámetros físicos y mecánicos del suelo. Como se conoce, para la determinación de los parámetros físicos se debe realizar los ensayos de granulometría, límite líquido, límite plástico y densidad específica, de tal modo que se pueda clasificar el material de la muestra según la norma AASHTO (American Association of State Highway and Transportation Officials) y SUCS (Sistema Unificado de Clasificación de Suelos).

Para la determinación de los parámetros mecánicos se han de utilizar normativas AASHTO, ASTM y NTE INEN.

3.3.1 Contenido de agua (ω)

Los suelos contienen agua generalmente como parte de su estructura. El contenido de agua, también llamada humedad del suelo, se define como la masa de agua por una unidad de suelo seco, es uno de los métodos más sencillos, su valor se determina secando la muestra de suelo a 105° C alrededor de 24 horas.

Las normativas a utilizar serán: NTE INEN 688 1982-05, Mecánica de suelos. Preparación de muestras alteradas para ensayos y NTE INEN 690 1982-05, Mecánica de suelos. Determinación del contenido de agua método del secado al horno.

3.3.2 Análisis granulométrico

El análisis granulométrico de un material se puede denominar como, la determinación del rango de tamaños de partículas presentes en un suelo, expresado como un porcentaje de la masa seca total, dicho ensayo es primordial para poder definir el tipo de suelo con el que estamos trabajando; el ensayo ser realiza mediante la norma ASTM D 422-63, Mecánica de suelos. Método del tamaño de partículas de suelo. Y la normativa ecuatoriana NTE INEN 696:2011, Áridos, Análisis Granulométrico en los Áridos, Fino y Grueso.

3.3.3 Límites de consistencia

El límite líquido y plástico se usa principalmente para la identificación y clasificación de suelos conjuntamente con la granulometría, además, mediante relaciones empíricas se puede utilizar para predecir la densidad máxima en el ensayo de compactación y en ocasiones el límite líquido es utilizado para estimar asentamientos. La normativa para estos ensayos es: NTE 688 1982-05, Mecánica de suelos. Preparación de muestras alteradas para ensayos, NTE INEN 691 1982-05, Mecánica de suelos. Determinación del límite líquido: Método de Casagrande y NTE INEN 692 1982-05, Mecánica de suelos. Determinación del límite plástico.

3.3.4 Gravedad específica del suelo

El ensayo de gravedad específica determina un valor adimensional que se define como la relación entre la densidad de los sólidos y la densidad del agua destilada a 4°C. Siguiendo el procedimiento de la normativa, para densidad específica, tomaremos tres muestras en tres matraces para obtener un valor promedio. El ensayo sigue la norma ASTM D 854-02, Método de ensayo para la determinación de la gravedad específica de los sólidos de suelo, a través del matraz con agua. NTE INEN 856:2010, Áridos, Determinación de la densidad, densidad relativa (Gravedad específica) y absorción del árido fino.

3.3.5 Clasificación de los suelos

Existe un lenguaje común con el cual se puede identificar el comportamiento y las características del suelo, dado por grupos y subgrupos donde se pueden identificar suelos que tengan propiedades similares. Para ello tenemos dos tipos de sistemas para dicha clasificación: Sistema de clasificación AASHTO y el Sistema Unificado de Clasificación de Suelos, SUCS. Normados en ASTM Standard D 422-63 y ASTM D 2487 respectivamente. Método AASHTO M145.

3.3.6 Ensayo de compactación Proctor Modificado

La compactación logra una reducción del índice de poros (e), incrementando la densidad seca (ρ_d) mediante la utilización de medios mecánicos, lo que da como resultado un mejoramiento de las propiedades mecánicas de los suelos. (Armas Novoa R., 2016)

Para el ensayo Proctor Modificado se han utilizado las siguientes normativas: ASTM D 1557. Compactación tipo Proctor Modificado y AASHTO T 180-01. Compactación tipo Proctor Modificado; para las especificaciones se refiere a la norma ASTM 1557-91, Método C.

3.3.7 Compresión simple

La resistencia a compresión simple (qu) del suelo, es el resultado de dividir la carga máxima que soporta el cilindro al producirse la falla sobre el área del cilindro (Ac).

Para la ejecución del ensayo de compresión simple se toma como referencia la norma ASTM D 2166-06, Método de prueba estándar para resistencia a compresión simple de suelos cohesivos. Norma Nevi E-152-07. Norma NTE INEN 1573:2010, Hormigón de cemento hidráulico. Determinación de la resistencia a la compresión de especímenes cilíndricos de hormigón de cemento hidráulico.

CAPÍTULO 4

ANÁLISIS DE LOS RESULTADOS

Los ensayos para determinar las propiedades físicas-mecánicas del suelo natural y del suelo estabilizado con cemento en proporción de 2% y 4% con relación al peso seco del material en estado natural, se realizaron en el laboratorio de Mecánica de Suelos de la Universidad del Azuay. A continuación, se muestran los resultados obtenidos.

Nota: Cuando se hable de 2% y 4% de cemento, se hace referencia a la adición de cemento, es decir, el porcentaje de cemento con relación al peso del suelo seco en la mezcla. Además, la curva de saturación se mostrará al 100%.

4.1 Propiedades físicas del suelo natural

4.1.1 Contenido de agua

Para este ensayo el material extraído de la mina Musmus se dejó secar a temperatura ambiente, durante dos semanas en el laboratorio. Posteriormente, se tomaron tres muestras para determinar su contenido de agua, se obtuvo como resultado los mostrados en la *Tabla 4.1*.

Tabla 4.1: Promedio del contenido de agua del suelo natural.

	Muestra 1	Muestra 2	Muestra 3	Promedio
CONTENIDO DE AGUA ω (%)	6,98	7,56	9,01	7,85

Fuente: Elaboración propia.

De las tres muestras que se tomaron, se obtuvo que el contenido de agua que tenía el suelo en promedio era 7.85%, un indicador de que el suelo tiene humedad higroscópica, se puede observar los datos en el *Anexo 1*.

4.1.2 Granulometría del suelo natural

Se realizaron tres ensayos de granulometría por cribado. Un resumen de los resultados se puede observar en la *Tabla 4.2*. El ensayo completo lo puede encontrar en el Anexo 2.

Tabla 4.2: Resumen de los resultados del ensayo de granulometría.

			Muestra 1			Muestra 2			Muestra 3	
N° Tamiz	Abertura (mm)	Retenido (g)	Retenido Acu. (%)	Pasante (%)	Retenido (g)	Retenido Acu. (%)	Pasante (%)	Retenido (g)	Retenido Acu. (%)	Pasante (%)
1/2"	12,50	328,23	7,75	92,25	378,78	8,95	91,05	410,02	9,76	90,24
3/8"	9,50	200,54	12,49	87,51	306,86	16,21	83,79	279,27	16,40	83,60
N°4	4,75	649,02	27,82	72,18	654,81	31,69	68,31	724,7	33,64	66,36
N° 8	2,50	574,98	41,41	58,59	500,45	43,52	56,48	522,08	46,06	53,94
N° 16	1,25	475,00	52,63	47,37	392,98	52,81	47,19	401,44	55,62	44,38
N° 30	0,60	402,64	62,14	37,86	341,01	60,87	39,13	327,61	63,41	36,59
N° 50	0,315	450,18	72,78	27,22	366,54	69,54	30,46	407,38	73,10	26,90
N° 100	0,150	310,90	80,12	19,88	313,26	76,94	23,06	200,78	77,88	22,12
N° 200	0,075	207,66	85,03	14,97	247,66	82,80	17,20	241,54	83,63	16,37
<n°200< td=""><td></td><td>633,85</td><td>14,97</td><td></td><td>727,65</td><td>17,20</td><td></td><td>688,18</td><td>16,37</td><td></td></n°200<>		633,85	14,97		727,65	17,20		688,18	16,37	

Fuente: Elaboración propia.

Se puede observar como resultado que el material pasante del tamiz No 200 (0.075mm) oscila entre 14% y 17.5%, obteniendo un valor promedio de 16.18%. Además, los resultados arrojaron que en promedio el 83.82% se retiene en el tamiz N°200, dando como referencia que las partículas que predominan son gravas y arenas. Las tablas y las curvas granulométricas de los resultados de los ensayos se pueden observar en el *Anexo 2*; se pueden observar en la Figura *4-1* las curvas de las tres muestras juntas.

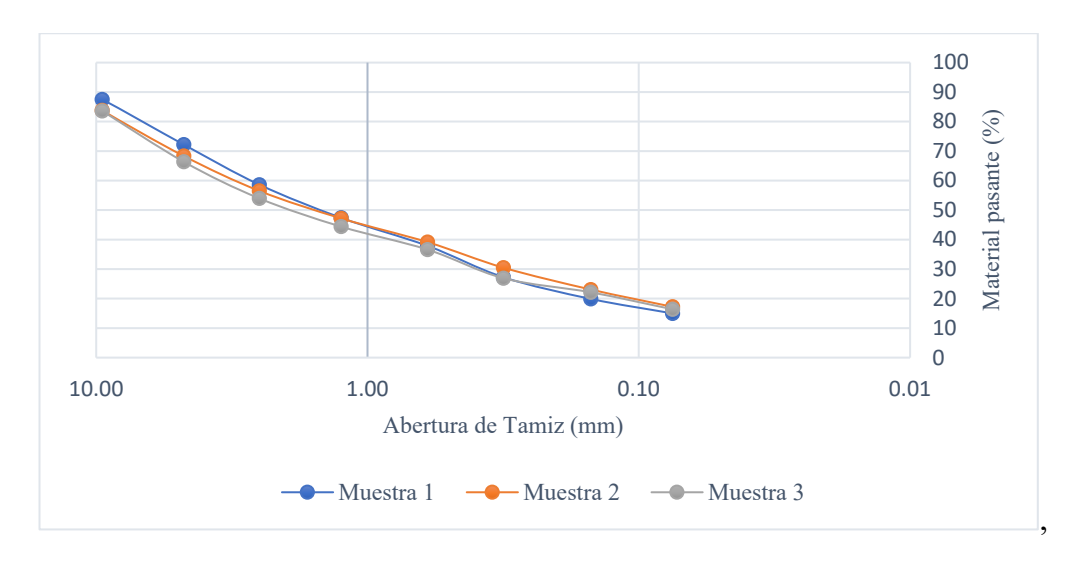


Figura 4-1: Curvas granulométricas del suelo natural.

4.1.3 Límites de consistencia del suelo natural

En la *Tabla 4.3*, podemos observar de manera resumida los resultados y el promedio del ensayo de los límites de consistencia del suelo natural de la mina Musmus; los ensayos completos los puede observar en el Anexo 3.

Tabla 4.3: Límite líquido, plástico e índice plástico del suelo natural.

RESUMEN SUELO NATURAL	Muestra 1	Muestra 2	Muestra 3	Promedio (%)
Límite líquido (%)	37,70	36,00	37,70	37,13
Límite plástico (%)	34,12	31,37	34,39	33,29
Índice plástico (%)	3,58	4,63	3,31	3,84

Fuente: Elaboración propia.

4.1.4 Clasificación del suelo natural

Para la clasificación del suelo natural, utilizaremos las tablas que se muestran en el libro de Fundamentos de la Ingeniería Geotécnica del autor Braja M Das, impreso en México en el 2001, en las páginas 35 al 44. Dichas Tablas permiten clasificar el suelo por los métodos AASHTO (American Association of State Highway and Transportation Officials) y SUCS (Sistema Unificado de Clasificación de Suelos).

En promedio, el material pasante de la malla No 200 de la muestra es 16.18%, de la malla No 40 pasa el 32.35% y de la malla No 10 pasa el 53.06%. Con estos datos y la tabla 2.4 del libro antes mencionado, mediante el método AASHTO, el suelo se clasifica como: **A-1-b (0)**; fragmentos de piedra, grava y arena.

El material de nuestro ensayo tiene en promedio 68.94% de material pasante del tamiz No 4 y 16.18% pasante del tamiz No 200. Dado que el material pasante del tamiz No 200 es menor al 50% y el valor del material pasante del tamiz No 4 es mayor al 50%, sabemos que trabajamos con un material grueso, específicamente arena. Procedemos a utilizar la Figura 2.12, la Tabla 2.6 y la Figura 2.13 del libro de Braja M. Das, lo que da como resultado mediante el método SUCS, que el suelo posee una clasificación **SM: Arena limosa con grava.**

4.1.5 Gravedad específica del suelo natural (Gs)

Para la realización de este ensayo se tomaron 3 muestras de suelo natural y se aplicó la Norma ASTM D854-02, utilizando matraces calibrados previamente. Como se muestra en la *Tabla 4.4*, los resultados del ensayo son bastante homogéneos, por lo que podemos tomar el valor promedio de **Gs=2.68**, adimensional; en el *Anexo 4* se puede observar el ensayo con mayor detalle.

Tabla 4.4: Gravedad específica del suelo natural.

Muestra	1	2	3
Gs	2,69	2,67	2,67
Promedio		2,68	

Fuente: Elaboración propia.

4.2 Límites de consistencia de suelo estabilizado con cemento

Para el estudio de este suelo de la mina Musmus, estabilizado con cemento, se consideró añadir un 2% y un 4% de cemento, con relación al peso seco del suelo natural. El cemento utilizado es de Holcim tipo MH, recomendado por el fabricante para este tipo de trabajo especialmente para generar las resistencias adecuadas que permitan mejorar y estabilizar suelos mediante el uso del material disponible en el sitio.

Los resultados de los ensayos de límites de consistencia de las muestras de suelo natural, estabilizado con 2% y 4% de cemento, se puede ver con mayor detalle en el Anexo 5: Determinación de los Límites de Consistencia de las muestras estabilizadas con 2% y 4% de cemento. En el Anexo 6: Determinación de los límites de consistencia, Muestra 1, 2 y 3 estabilizadas con 4% de cemento.

En la *Tabla 4.5* se indican los resultados de los ensayos de límite líquido y límite plástico, obtenidos en cada una de las 3 muestras ensayadas y los valores del índice de plasticidad, así como los valores promedios del suelo natural, estabilizado con 2% de cemento.

Tabla 4.5: Límites de consistencia del suelo natural estabilizado con 2 % de cemento.

RESUMEN 2%	Muestra 1	Muestra 2	Muestra 3	Promedio (%)
Límite líquido (%)	43,00	41,00	43,00	42,33
Límite plástico (%)	38,05	37,75	35,63	37,14
Índice plástico (%)	4,95	3,25	7,37	5,19

De igual manera, en la *Tabla 4.6* se muestran los resultados de los ensayos de límite líquido y límite plástico, obtenidos en cada una de las 3 muestras ensayadas y los valores del índice de plasticidad, así como los valores promedios de estos parámetros del suelo natural, estabilizado con 4% de cemento.

Tabla 4.6: Límites de consistencia del suelo natural estabilizado con 4 % de cemento.

RESUMEN 4%	Muestra 1	Muestra 2	Muestra 3	Promedio (%)
Límite líquido (%)	43,40	43,00	43,50	43,30
Límite plástico (%)	33,53	34,37	36,78	34,89
Índice plástico (%)	9,87	8,63	6,72	8,41

Fuente: Elaboración propia.

Tabla 4.7 y en la Figura 4-2, los resultados de los ensayos de límites de consistencia en función del contenido de cemento añadido, se observa que el índice de plasticidad aumenta mientras aumentamos el contenido de cemento. Sin embargo, el límite plástico comienza a disminuir. Cuando se trabaja con suelo-cemento se piensa principalmente en aumentar la resistencia del suelo con el que trabajamos, sin embargo, esto, también disminuye la plasticidad. (Mallela, Quintus, & Smith, 2004)

Tabla 4.7: Límites de consistencia en función del contenido de cemento en la mezcla.

CONTENIDO DE CEMENTO (%)	LÍMITE LÍQUIDO (%)	LÍMITE PLÁSTICO (%)	ÍNDICE DE PLASTICIDAD (%)
0	37,13	33,29	3,84
2	42,33	37,14	5,19
4	43,30	34,89	8,41

Fuente: Elaboración propia.

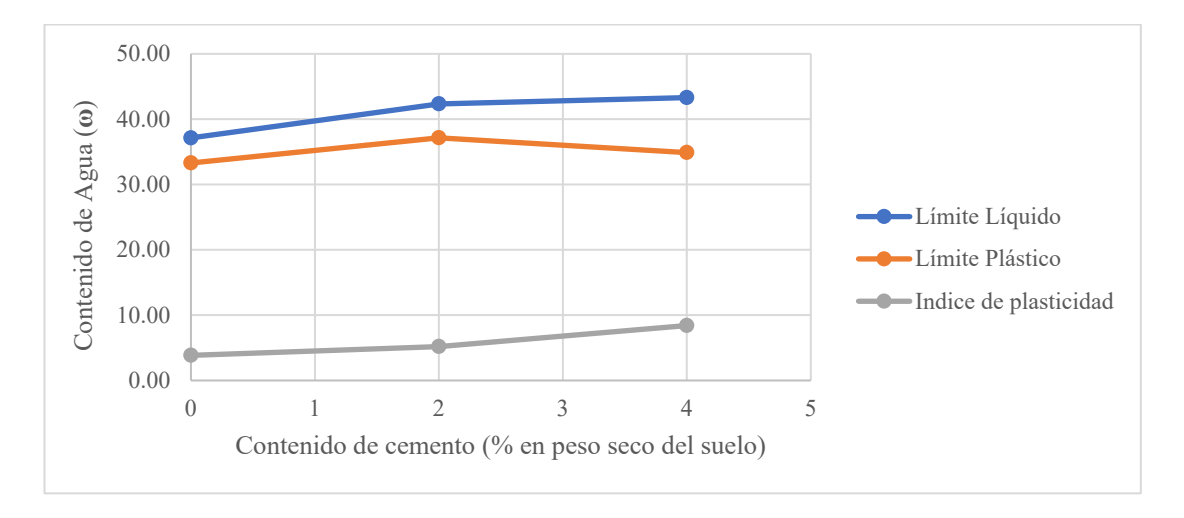


Figura 4-2: Variación de los límites de consistencia en función con el contenido de cemento en la mezcla.

4.3 Propiedades mecánicas del suelo natural y mezclado con cemento

4.3.1 Ensayo de compactación Proctor Modificado del suelo natural

El ensayo de compactación Proctor Modificado se realizó para tres muestras de suelo natural y para tres muestras de suelo estabilizado con 2% y tres muestras con 4% de cemento tipo Holcim MH, determinando la densidad seca máxima (ρdmáx) y la humedad óptima (ωορt) de compactación de energía del ensayo Proctor Modificado.

En la Figura 4-3, Figura 4-4 y la Figura 4-5 se puede observar las curvas de compactación y de saturación de las tres muestras del suelo natural, dando como resumen la *Tabla 4.8*. Los ensayos más detallados se pueden observar en el Anexo 7.

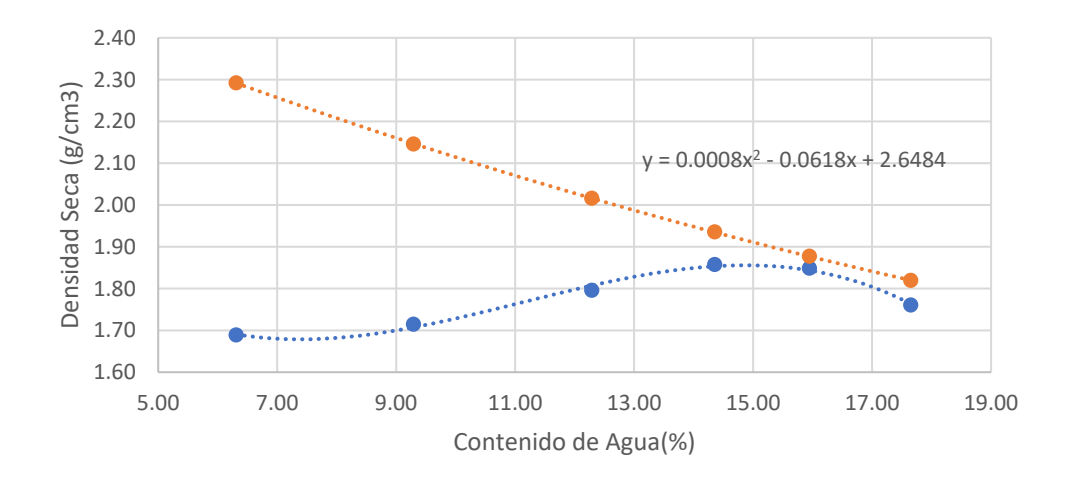


Figura 4-3: Curva de compactación y saturación del suelo natural- muestra 1 Fuente: Elaboración propia.

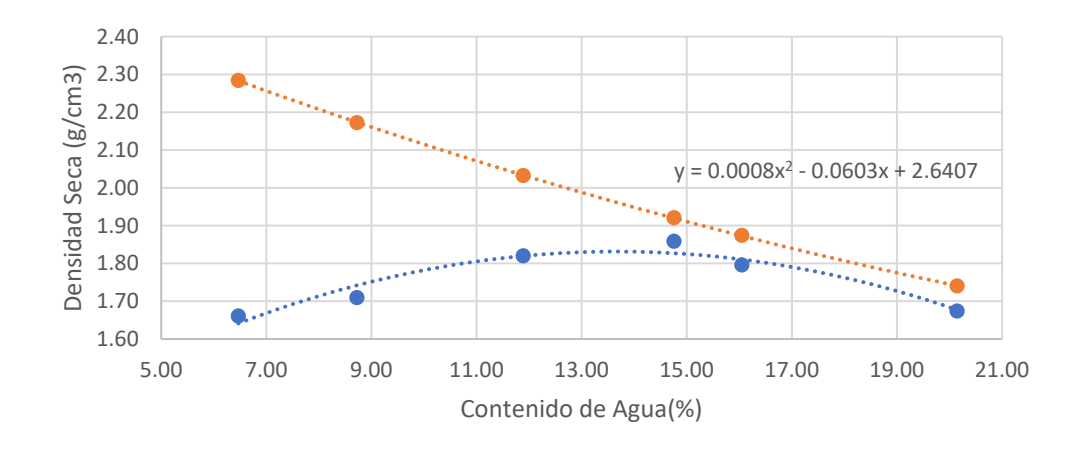


Figura 4-4: Curva de compactación y saturación del suelo natural – muestra 2. Fuente: Elaboración propia.

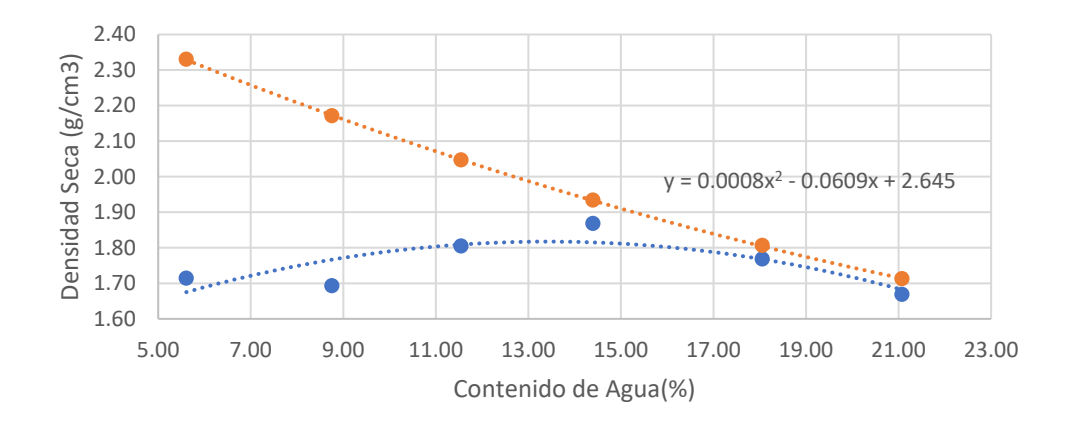


Figura 4-5: Curva de compactación y saturación del suelo natural – muestra 3. Fuente: Elaboración propia.

Tabla 4.8: Resultados y promedio del ensayo Proctor Modificado de suelo natural.

PROCTOR MODIFICADO						
RESUMEN SUELO NATURAL	MUESTRA 1 MUESTRA 2 MUESTRA 3 PROP					
DENSIDAD SECA MÁXIMA ρd-máx (g/cm3)	1,86	1,86	1,87	1,86		
HUMEDAD ÓPTIMA ωόpt (%)	14,36	14,76	14,40	14,50		

Fuente: Elaboración propia.

4.3.2 Ensayo de compactación Proctor Modificado del suelo estabilizado con 2 % de cemento

En la Figura 4-6, Figura 4-7 y la Figura 4-8 se puede observar las curvas de compactación y saturación de las tres muestras del suelo estabilizado con 2 % de cemento, dando como resultado (resumen) la *Tabla 4.9*; para más detalle del ensayo, ver el *Anexo 8*.

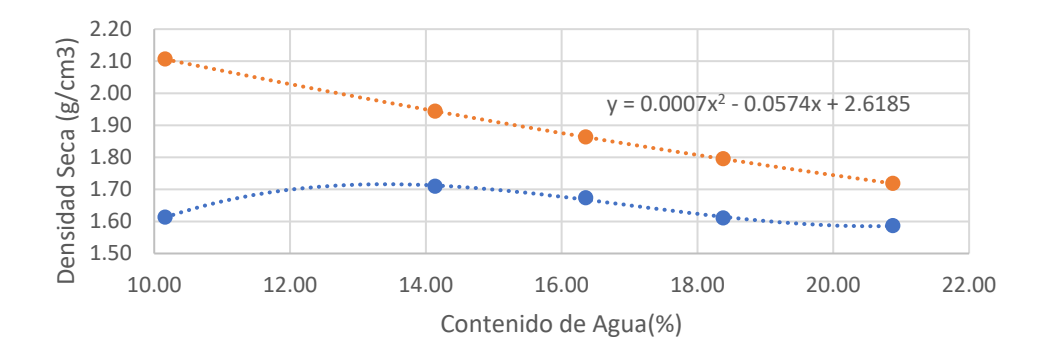


Figura 4-6: Curva de compactación y saturación del suelo estabilizado con 2 % de cemento— muestra 1. Fuente: Elaboración propia.

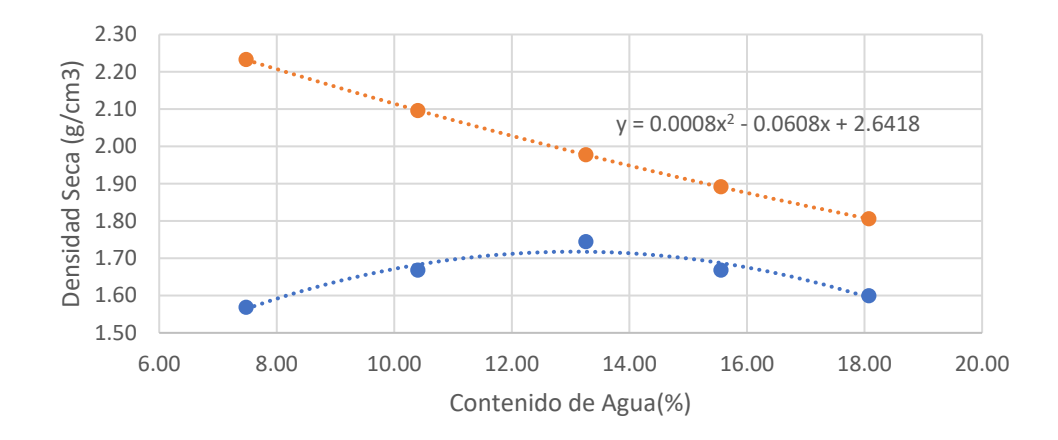


Figura 4-7: Curva de compactación y saturación del suelo estabilizado con 2 % de cemento— muestra 2. Fuente: Elaboración propia.

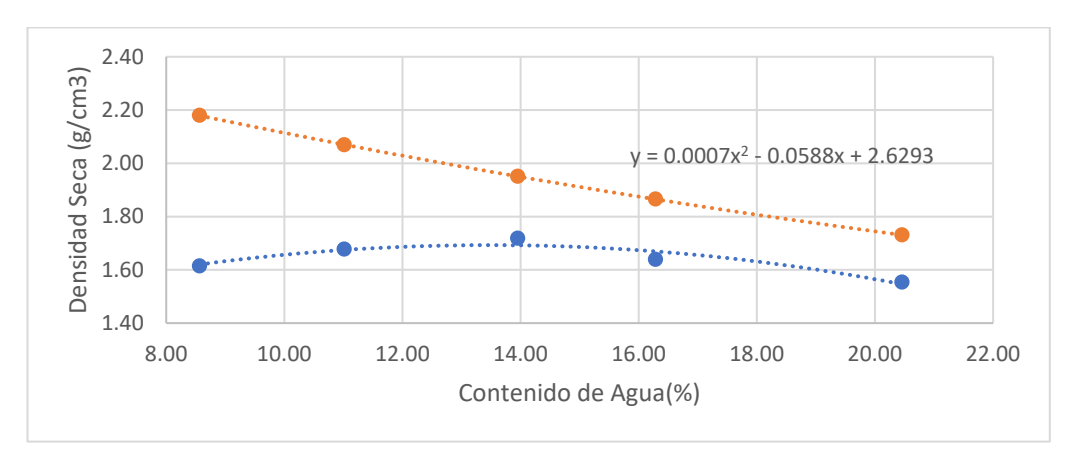


Figura 4-8: Curva de compactación y saturación del suelo estabilizado con 2 % de cemento— muestra 3. Fuente: Elaboración propia.

Tabla 4.9: Resultados y promedio del ensayo Proctor Modificado de suelo estabilizado con $2\,\%$ de cemento.

PROCTOR MODIFICADO						
RESUMEN 2 % CEMENTO	MUESTRA 1	MUESTRA 2	MUESTRA 3	PROMEDIO		
DENSIDAD SECA MÁXIMA pd-máx (g/cm3)	1,71	1,74	1,72	1,72		
HUMEDAD ÓPTIMA ωόρt (%)	14,14	13,26	13,95	13,79		

4.3.3 Ensayo de compactación Proctor Modificado del suelo estabilizado con 4 % de cemento

En la Figura 4-9, Figura 4-10 y la Figura 4-11 se puede observar las curvas de compactación y saturación de las tres muestras del suelo estabilizado con 4 % de cemento, dando como resultado (resumen) la *Tabla 4.10*; para más detalle del ensayo, ver el *Anexo 9*.

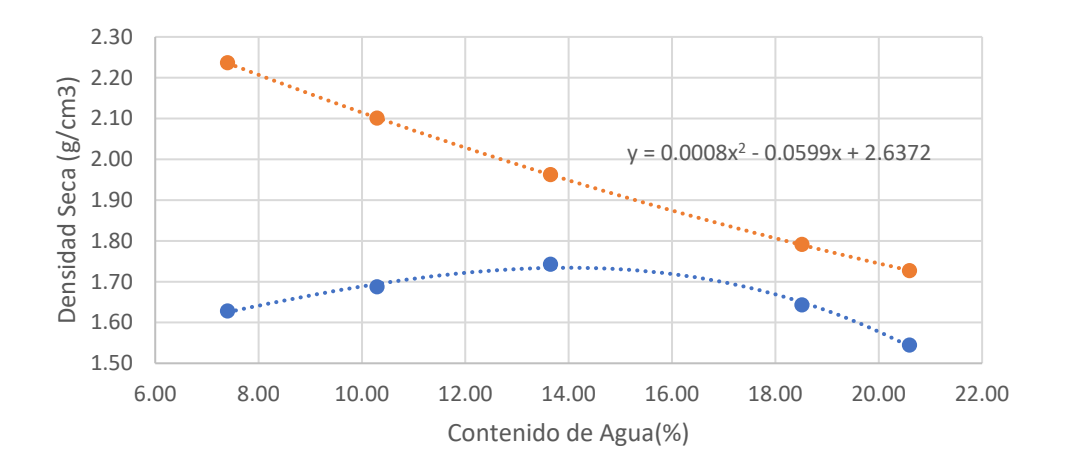


Figura 4-9: Curva de compactación y saturación del suelo estabilizado con 4 % de cemento- muestra 1 Fuente: Elaboración propia.

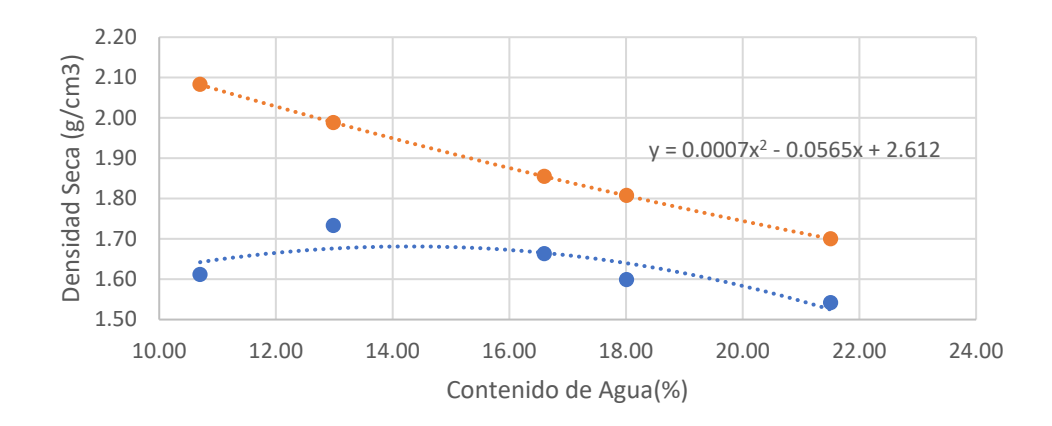


Figura 4-10: Curva de compactación y saturación del suelo estabilizado con 4 % de cemento— muestra 2.

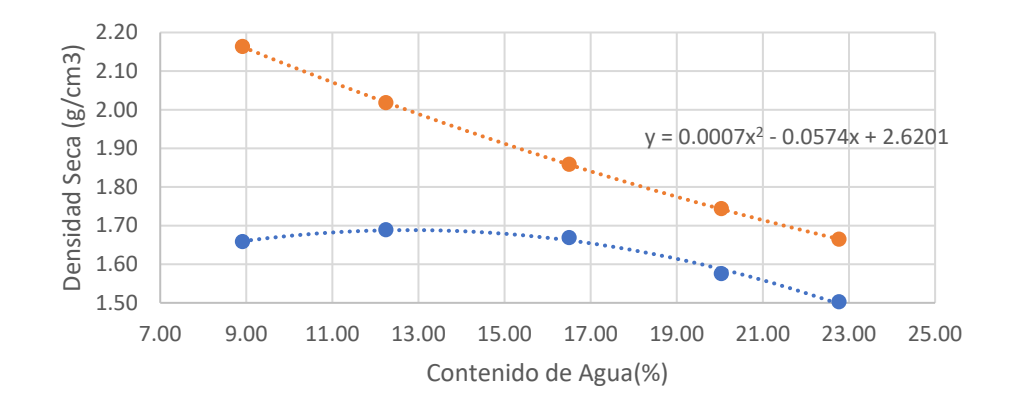


Figura 4-11: Curva de compactación y saturación del suelo estabilizado con 4 % de cemento— muestra

Fuente: Elaboración propia.

Tabla 4.10: Resultados y promedio del ensayo Proctor Modificado de suelo estabilizado con 4 % de cemento.

PROCTOR MODIFICADO							
RESUMEN 4% CEMENTO	MUESTRA 1	PROMEDIO					
DENSIDAD SECA MÁXIMA pd-máx (g/cm3)	1,74	1,73	1,69	1,72			
HUMEDAD ÓPTIMA ωόρt (%)	13,65	12,98	12,25	12,96			

Fuente: Elaboración propia.

Se puede observar en las tablas: *Tabla 4.8*, *Tabla 4.9* y *Tabla 4.10*, como la densidad seca máxima varía entre 1770 y 1850 kg/m3, mientras que la humedad óptima varía entre 12.96 y 14.50 %.

4.4 Resultados del ensayo de compactación Proctor Modificado del suelo natural y suelo estabilizado con cemento

En los resultados obtenidos de la realización del ensayo Proctor Modificado, podemos observar cómo varia la densidad seca máxima y el contenido de humedad del suelo natural a comparación del suelo estabilizado con 2% y 4% de cemento, teniendo en consideración que la compactación se realizó inmediatamente después de mezclar el suelo con el cemento y agregar el agua.

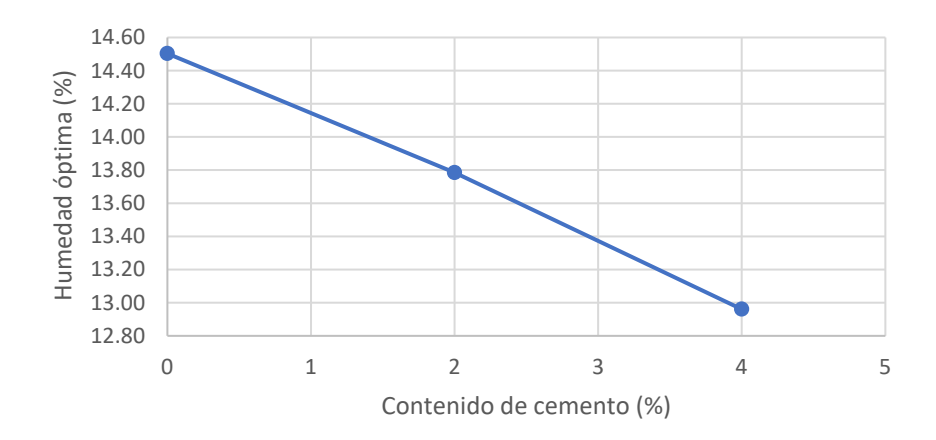


Figura 4-12: Contenido de cemento en porcentaje vs contenido de agua óptimo del Proctor modificado. Fuente: Elaboración propia.

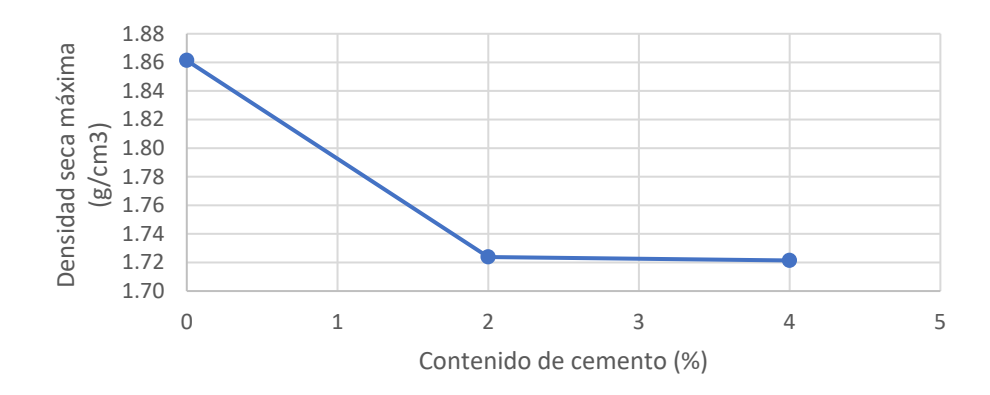


Figura 4-13: Contenido de cemento en porcentaje vs Densidad seca máxima del Proctor Modificado. Fuente: Elaboración propia.

En la Figura 4-12 se puede observar la relación del contenido de cemento en porcentaje y el contenido óptimo de humedad para una energía de compactación, como a medida que se incrementa el porcentaje de cemento, la humedad óptima disminuye; de igual manera se puede observar en la Figura 4-13 la relación del contenido de cemento y la densidad seca máxima para la misma energía de compactación de la figura anterior, como resultado se puede observar que las muestras con adición de cemento tienen una disminución de la densidad seca máxima, sin embargo, entre las muestras con contenido de cemento al 2 % y 4 % existe una diferencia casi nula.

4.5 Ensayo a Compresión Simple

Para la determinación de la resistencia a compresión simple, se realizó 5 cilindros con suelo natural, 5 con suelo estabilizado con 2 % de cemento y 5 con suelo estabilizado con 4 % de cemento Holcim tipo MH. Dichos cilindros fueron realizados en el molde grande, se utilizó el martillo del ensayo Proctor Modificado. Cada cilindro se compactó con una humedad diferente para poder obtener una curva, para demostrar la resistencia a compresión simple. Los cilindros fueron curados por 7 días al aire libre, previo a la rotura de las muestras.

4.5.1 Determinación de la resistencia a compresión simple

Al momento de realizar los cilindros se tomaron muestras de humedad y se pesaron los cilindros para obtener la densidad seca y el contenido de agua de cada cilindro, previo al tiempo de curado. A continuación, se presentan las tablas y los gráficos resumen.

Tabla 4.11: Ensayo compresión simple suelo natural.

RESISTENCIA A LA COMRPESIÓN SIMPLE DEL SUELO NATURAL							
Punto		1	2	3	4	5	
PREVIO AL CURADO	PREVIO AL CURADO						
Densidad Seca máx. (g/cm3)	ρd	1,84	2,04	2,01	1,98	1,95	
Humedad (%)	ω (%)	9,59	13,74	16	19,08	24,32	
DESPUES DEL CURADO DE	E SIETE DÍAS						
Masa del cilindro secado 7 días (g)	m_6	3963	4299	4202	4091	3875	
Fuerza aplicada para llegar a la rotura (kgf)	F	1982	3356	2612	1840	1059	
Resistencia a la compresión simple (kgf/cm2)	$qu = \frac{F}{A}$	10,05	17,01	13,24	9,33	5,37	

Tabla 4.12: Ensayo compresión simple del suelo estabilizado con 2 % de cemento.

RESISTENCIA A LA COMRPESIÓN SIMPLE DEL SUELO ESTABILIZADO CON 2 % DE CEMENTO						2 % DE
Pu	into	1	2	3	4	5
PREVIO AL CURADO						
Densidad Seca máx. (g/cm3)	ρd	1,73	1,81	1,73	1,62	1,56
Humedad (%)	ω (%)	10,35	13,45	15,99	19,9	22,88
DESPUES DEL CURADO DE	E SIETE DÍAS					
Masa del cilindro secado 7 días (g)	m_6	4068	4381	4141	4016	3882
Fuerza aplicada para llegar a la rotura (kgf)	F	1953	5046	2186	876	651
Resistencia a la compresión simple (kgf/cm2)	$qu = \frac{F}{A}$	9,9	25,57	11,08	4,44	3,3

Fuente: Elaboración propia.

Tabla 4.13: Ensayo compresión simple del suelo estabilizado con 4 % de cemento.

RESISTENCIA A LA COMRPESIÓN SIMPLE DEL SUELO ESTABILIZADO CON 4 % DE CEMENTO						
Pu	into	1	2	3	4	5
PREVIO AL CURADO		•				
Densidad Seca máx (g/cm3)	ρd	1,69	1,78	1,74	1,67	1,56
Humedad (%)	ω (%)	9,91	13,023	14,85	16,28	22,53
DESPUES DEL CURADO D	E SIETE DÍAS					
Masa del cilindro secado 7 días (g)	m_6	3993	4334	4112	4076	3929
Fuerza aplicada para llegar a la rotura (kgf)	F	3285	6088	4262	2586	2067
Resistencia a la compresión simple (kgf/cm2)	$qu = \frac{F}{A}$	16,65	30,86	21,6	13,11	10,48

Tabla 4.14: Tabla resumen del ensayo de compresión simple.

COMPRESIÓN SIMPLE						
RESUMEN	SUELO NATURAL	ESTABILIZACIÓN 2%	ESTABILIZACIÓN 4%			
PESO ANTES DE LA ROTURA (g)	4299	4381	4334			
FUERZA APLICADA (kgf)	3356	5046	6088			
PRESIÓN APLICADA (kgf/cm2)	18,49	27,81	33,55			

Fuente: Elaboración propia.

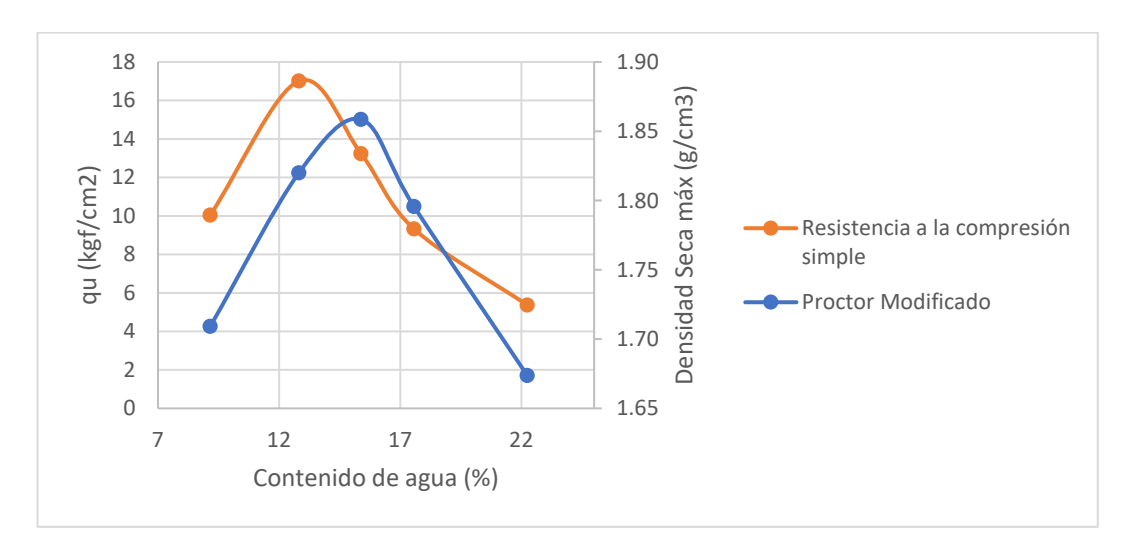


Figura 4-14: Curva Proctor Modificado y curva de resistencia a la compresión simple del suelo natural. Fuente: Elaboración propia.

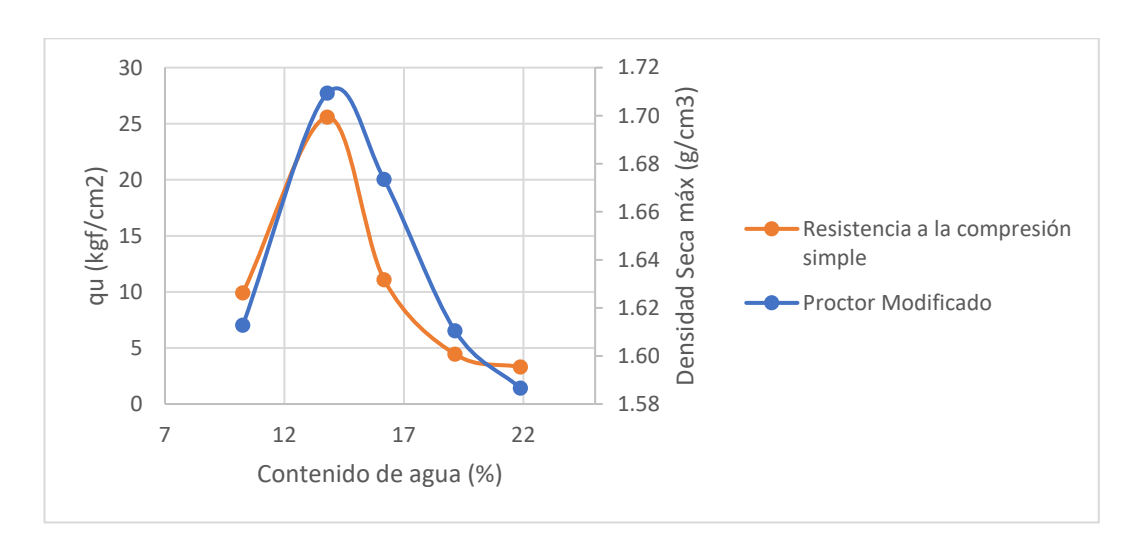


Figura 4-15: Curva Proctor Modificado y curva de resistencia a la compresión simple del suelo estabilizado con 2% de cemento.

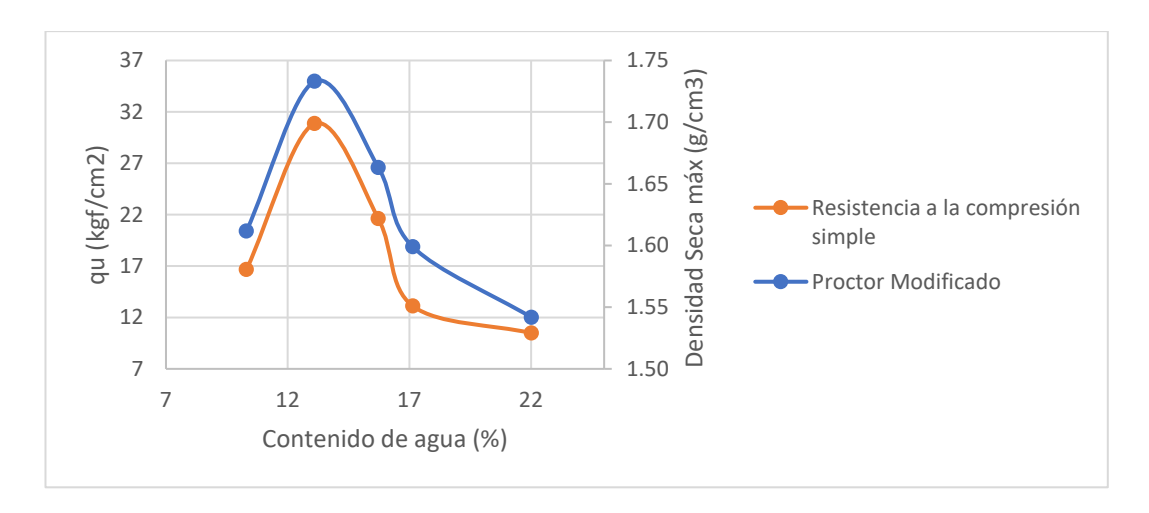


Figura 4-16: Curva Proctor Modificado y curva de resistencia a la compresión simple del suelo estabilizado con 4% de cemento. Fuente: Elaboración propia.

En la *Tabla 4.11*, *Tabla 4.12* y la *Tabla 4.13*, se puede observar los resultados del ensayo de compresión simple, en los cuales se puede inferir que a medida que agregamos más porcentaje de cemento a la mezcla, esta alcanza una mayor resistencia a la compresión simple; con 0 % de cemento a la mezcla, resiste 17.01 kgf/cm2, con 2 % de cemento 25.57 kgf/cm2 y con 4 % de cemento 30.86 kgf/cm2. Las tablas con los ensayos más detallados se pueden encontrar en el Anexo 10, *Anexo 11* y el *Anexo 12*.

En la Figura 4-14, Figura 4-15 y la Figura 4-16 se puede observar las curvas del Proctor Modificado y la Curva resultante de la resistencia a compresión simple contra la humedad; para el desarrollo de las mismas cabe recalcar que, se realizó un promedio entre las humedades de ambos ensayos para poder graficar una curva sobre la otra. Se puede observar como en las curvas del suelo natural, la resistencia a la compresión

Se puede observar como en las curvas del suelo natural, la resistencia a la compresion máxima no se alcanza con la humedad óptima del Proctor Modificado, sino con el punto de humedad siguiente a esta, es decir, aproximadamente 15% de humedad. Sin embargo, en los ensayos del suelo estabilizado con cemento se puede observar que tanto para el incremento de 2% como para el 4% de cemento, la resistencia a la compresión simple se alcanza con la humedad óptima, resultado del ensayo Proctor Modificado, la misma que oscila entre 13 y 15% de humedad.

CAPÍTULO 5

CONCLUSIONES Y RECOMENDACIONES

5.1 Conclusiones

La problemática declarada en este trabajo, era conocer las propiedades físicomecánicas del suelo natural de la mina Musmus, sector Chordeleg y como las mismas
mejoran al ser mezcladas con cemento Holcim tipo MH, en proporciones de 2 % y 4%
de cemento con relación a la masa de suelo seco, a fin de utilizar los resultados en la
construcción y mantenimiento de vías del sector rural. Con vista a dar respuesta a la
problemática declarada, se procedió a realizar los ensayos de laboratorio de suelos al
material natural de la mina Musmus, que nos permitiera conocer sus propiedades
físicas de granulometría, plasticidad y densidad específica, para con ellos clasificar el
suelo por los sistemas SUCS (Sistema Unificado de Clasificación de Suelos) y
AASHTO (American Association of State Highway) que son los sistemas utilizados
internacionalmente.

De los ensayos realizados a las muestras de suelo natural que se obtuvieron de la mina Musmus, cuyos resultados se muestran en el capítulo 4, de la *Tabla 4.1* a la *Tabla 4.14*, se observa que:

- El material natural de la mina Musmus clasifica por el SUCS como un suelo SM: Arena limosa con grava, y por el AASHTO como un suelo A-1-b (0): fragmentos de piedra, grava y arena.
- Para ambos sistemas se observa que se trata de un suelo grueso, donde predominan las arenas y gravas, ya que más del 50 % se retiene en la malla No 200 (0.075mm) y pasa menos del 20 % dicha malla.
- De acuerdo al sistema AASHTO, que fue ideado para su uso en el diseño y construcción de vías de comunicación (caminos, carreteras, aeropuertos y ferrocarriles); un suelo clasificado como A-1-b (0) se considera excelente para ser utilizado como subrasante.

Acorde a lo mencionado anteriormente se llegan a las siguientes conclusiones:

1. El material de la mina Musmus, en estado natural es un excelente material para ser utilizado como subrasante en la construcción y mantenimiento de vías

- rurales en el sector de Chordeleg y cualquier otro sector cercano que lo requiera y sea económico su transporte.
- 2. Este tipo de material natural que constituye la mina Musmus no requiere ser estabilizado con cemento para su uso en la construcción y mantenimiento de vías rurales. Solo requiere ser compactado con la energía de compactación del ensayo Proctor Modificado. Recordemos que la compactación es el método de mejoramiento de suelo, es más antiguo y más económico.
 - Para complementar los objetivos que nos trazamos de acuerdo a la problemática que se planteó al inicio, se estabilizó el material natural con 2 % y 4 % de cemento tipo MH, con relación al material seco. Para estudiar el aumento de la resistencia que debe obtenerse con la adición de cemento al suelo natural, se procedió a la realización de ensayos de compresión simple a las muestras compactadas con la energía de compactación del Proctor Modificado
- 3. En la *Tabla 4.11*, *Tabla 4.12*, *Tabla 4.13*, *Tabla 4.14*, Figura *4-14*, Figura *4-15* y la Figura *4-16*, se observa, como era de esperar, que la resistencia a la compresión simple aumenta con la adición de cemento y que este aumento de resistencia a la compresión simple con la adición de cemento es más eficiente cuando se compacta con humedades ligeramente menores a la humedad óptima del ensayo de compactación, Proctor Modificado.

5.2 RECOMENDACIONES

 Se recomienda realizar el ensayo CBR con suelo natural y suelo estabilizado con diferentes porcentajes de cemento para conocer si el valor incrementa y cómo, para de esta manera comparar con los requerimientos del MTOP.

BIBLIOGRAFÍA

- Altamirano, G., & Díaz, A. (2015). Estabilización de suelos cohesivos por medio de cal, en vías de la comunidad de San Isidro del Pegón, Municipio Potosí-Rivas.

 Managua-Nicaragua: Universidad Nacional Autónoma de Nicaragua.
- Archuy, A., & Sanabria, M. (2018). Propuesta de mejora para el proceso productivo de la empresa cementos Tequendama. Bogota, Colombia: Universidad de Colombia.
- Armas Novoa, R. (2016). Compactación de suelos. Cuenca.
- Armas Novoa, R., Guerrero Abril, A., & Lima Rodas, E. (2018). Elaboración de guías metodológicas para ensayos de laboratorio de la asignatura de Mecánica de suelos de la Universidad del Azuay. Cuenca, Ecuador: Universidad del Azuay.
- Asgary, M., Baghebanzadeh, R., & Bayat, M. (2013). Experimental study on stabilization of a low plasticity clayey soil with cement/lime. *Arabic Journal of Geoscienses*, Vol 8, núm 3, 1439-1452.
- ASTM_C2487. (s.f.). Standard Classification of soild for engineering purposes. Pensilvania, EEUU: Unified soil classification system.
- ASTM_D422-63. (2007). Standard test method for partichles-sizes analysis of soils.

 Pensilvania, EEUU: Standard test method of laboratory determination of water moisture content of soil and rock by mass.
- ASTM_D854-02. (2002). Standard test methods for specific gravity of soil solids by water pycnometer. West Conshohocken, PA: ASTM International.
- Bayat, M., Asgary, M., & Mousivand, M. (2013). Effects of cement and lime treatmnt on geotechnical properties of a low plasticity clay. Tabriz, Iran: International conference on Civil Engineering, Architecture & Urban Sustainable Development.
- Bowles, J. (1981). *Manual de laboratorio de suelos de ingeniería civil* . EEUU: McGraw-Hill Book Co.
- Das, B. M. (2001). Fundamentos de ingeniería geotécnica. México: Thomson S.A.

- GAD_Chodeleg. (2014). *Plan de desarrollo y ordenamiento territorial de Chordeleg*. Chordeleg: Consejo Cantonal de planificación.
- García Toro, J., & Bernal Acosta, D. (2019). Estudio de la técnica de suelo cemento para la estabilización de vías terciarias en Colombia. Bogota, Colombia: Universidad Católica de Colombia.
- Garnica, P., Pérez, A., Gómez, J., & Obil, E. (2002). *Estabilización de suelos con cloruro de sodio para uso en las vías terrestres*. Sanfandila, México: Secretaría de comunicaciones y transportes, Instituto Mexicano del Transporte.
- Guerrero Baca F., & Soria López F. (2019). Estabilización de suelos con cal y puzolanas. *Construcción con tierra*, 15-24.
- Holcim. (2015). Holcim base vial, cemento hidráulico tipo MH para estabilización de suelos. Ecuador: Holcim Ecuador S.A.
- IECA. (2010). *Manual de estabilización de suelos con cemento o cal*. Madrid, España: Vaquero servicios de publicaciones.
- INEN, (. r. (2017). NTE INEN 0690: Mecánicade suelos, Determinación del contenido de agua, Método de secado al horno. Quito, Ecuador.
- INEN, 1. r. (2017). NTE INEN 0691 Mecánica de suelos, Determinación del límite líquido, método Casagrande. Quito, Ecuador.
- Mallela, J., Quintus, H., & Smith, K. (2004). Consideration of lime-stabilized layers in mechanistic-emprirical pavement desing. Arlington, Virginia: The National Lime Association.
- Ministerio de Transporte y Obras Públicas del Ecuador. (2013). *Norma Ecuatoriana Vial NEVI-12 MTOP*,. Ecuador: MTOP.
- Quezada, S. (2017). Estudio comparativo de la estabilización de suelos arcillosos con valvas de moluscos para pavimentación (Tesis en Ingeniería Civil),. Piura, Peru: Universidad de Piura.
- Segovia Zhispón, J. (2015). Memoria técnica del producto comunicativo: Chordeleg, un cantón lleno de riqueza artesanal. Cuenca, Ecuador: Universidad Politécnica Salesiana.

Terzaghi, K. (1943). Theoretical Soil Mechanic. EEUU: John Wiley & Sons, Inc.

Vías, I. N. (2002). Norma para límite plástico e índice de plasticidad de suelos,. Bogotá, Colombia.

CAPÍTULO 6

ANEXOS

Anexo 1: Contenido de agua del suelo natural.

	FICHA DE LABORATORIO UNIVERSIDAD DEL AZUAY								50		
PRÁCTICA DE	PRÁCTICA DE LABORATORIO DE MECÁNICA DE SUELOS Nº1										
DETERMINACIÓN DEL CONTENIDO DE AGUA											
Realizado por: Lisseth Alvarado y Diana Portilla											
Grupo: Muestra 1				Fecha:	04/02/2	2020					
Localización del suelo: N	Localización del suelo: Mina Musmus, Chordeleg, Azuay										
Descripción de la muestra: Muestra mixta sin grumos											
Muestra			1			2	1		3		
Recipient	e N°	1	14	17	10	11	12	18	20	21	
Masa del Recipiente (g)	m_1	31,51	31,76	30,54	30,62	30,83	30,69	30,55	30,08	30,14	
Masa del Recipiente + Suelo húmedo (g)	m_2	189,05	186,68	194,33	193,61	238,88	231,05	223,49	195,10	201,76	
Masa del Recipiente + Suelo seco (g)	m_3	179,12	175,68	184,23	178,51	226,79	219,16	208,59	180,43	187,71	
Masa de agua (g)	$m_2 - m_3$	9,93	11,00	10,10	15,10	12,09	11,89	14,90	14,67	14,05	
Masa de suelo seco (g)	m_3-m_1	147,61	143,92	153,69	147,89	195,96	188,47	178,04	150,35	157,57	
Contenido de agua (%)	$\frac{m_2 - m_3}{m_3 - m_1} \times 100$	6,73	7,64	6,57	10,21	6,17	6,31	8,37	9,76	8,92	
Contenido de agua promedio (%)	ω (%)		6,98			7,56			9,01		
Observaciones:										·	

Anexo 2: Ensayos de granulometría del suelo natural.

PRÁCTICA DE LABORATORIO DE MECÁNICA DE SUELOS Nº3

ANÁLISIS GRANULOMÉTRICO POR TAMIZADO Y DETERMINACIÓN DEL PORCENTAJE MENOR A 0.075mm EN UN SUELO



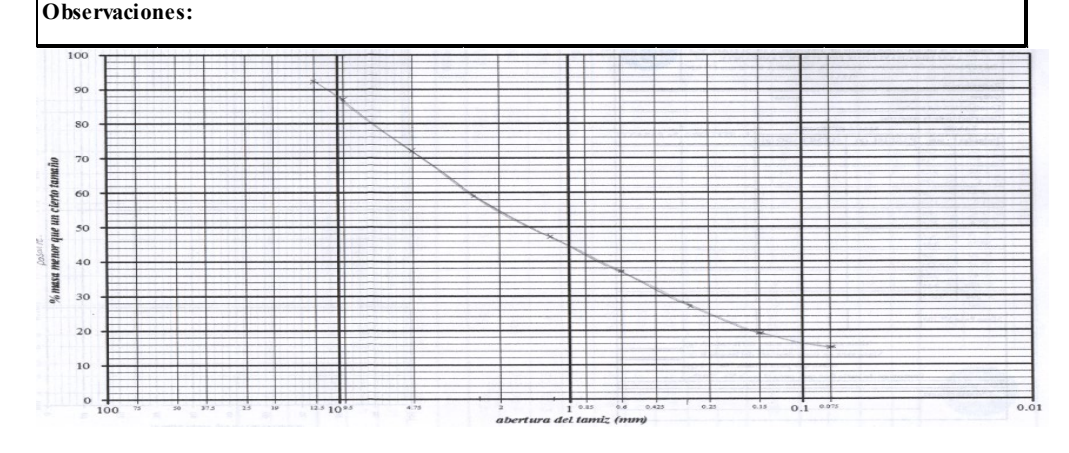
Realizado por: Lisseth Alvarado y Diana Portilla

Grupo: Muestra 1 **Fecha:** 13/02/2020

Localización del suelo: Mina Musmus, Chordeleg, Azuay

Descripción de la muestra: Muestra mixta sin grumos

TAM	ΠZ	MASA R	RETENIDA	0/DETENHOO	0/DACANTEE	
Pulgadas	mm PARCIAL (g) ACUMULADO		ACUMULADO (g)	%RETENIDO	%PAS ANTE	
1/2	12,5	328,23	328,23	7,75	92,25	
3/8	9,5	200,54	528,77	12,49	87,51	
N°4	4,75	649,02	1177,79	27,82	72,18	
N°8	2,5	574,98	1752,77	41,41	58,59	
N°16	1,25	475,00	2227,77	52,63	47,37	
N°30	0,6	402,64	2630,41	62,14	37,86	
N°50	0,315	450,18	3080,59	72,78	27,22	
N°100	0,15	310,90	3391,49	80,12	19,88	
N°200	0,075	207,66	3599,15	85,03	14,97	
Masa que p	asa N°200					
		Ma	sa seca de suelo ante	s del lavado A(g)	4233,00	
	3599,15					
			Masa que pasa el	tamiz N° 200 (g)	633,85	
		Porcentaje de su	elo fino que pasa el t	amiz N° 200 (%)	14,97	



PRÁCTICA DE LABORATORIO DE MECÁNICA DE SUELOS Nº3 DEL PORCENTAJE MENOR A 0.075mm EN UN SUELO



4230,00

3502,35

727,65

17,20

Realizado por: Lisseth Alvarado y Diana Portilla

Observaciones:

Grupo: Muestra 2 **Fecha:** 13/02/2020

Localización del suelo: Mina Musmus, Chordeleg, Azuay

Descripción de la muestra: Muestra mixta sin grumos

TAMIZ		MASA F	RETENIDA	0/DETENIDO	0/DACANTE	
Pulgadas	mm	PARCIAL (g)	ACUMULADO (g)	%RETENIDO	%PAS ANTE	
1/2	12,5	378,78	378,78	8,95	91,05	
3/8	9,5	306,86	685,64	16,21	83,79	
N°4	4,75	654,81	1340,45	31,69	68,31	
N°8	2,5	500,45	1840,90	43,52	56,48	
N°16	1,25	392,98	2233,88	52,81	47,19	
N°30	0,6	341,01	2574,89	60,87	39,13	
N°50	0,315	366,54	2941,43	69,54	30,46	
N°100	0,15	313,26	3254,69	76,94	23,06	
N°200	0,075	247,66	3502,35	82,80	17,20	
	•					
Masa que p	asa N°200					

Masa seca de suelo antes del lavado A(g)

Masa que pasa el tamiz N° 200 (g)

Masa seca de suelo después del lavado B (g)

Porcentaje de suelo fino que pasa el tamiz N° 200 (%)

PRÁCTICA DE LABORATORIO DE MECÁNICA DE SUELOS Nº3 DEL PORCENTAJE MENOR A 0.075mm EN UN SUELO



Realizado por: Lisseth Alvarado y Diana Portilla

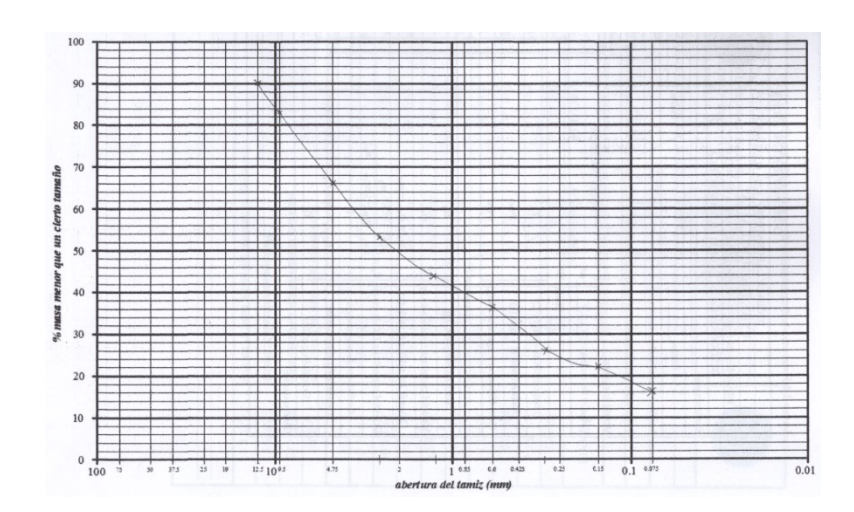
Grupo: M uestra 3 **Fecha:** 13/02/2020

Localización del suelo: Mina Musmus, Chordeleg, Azuay

Descripción de la muestra: Muestra mixta sin grumos

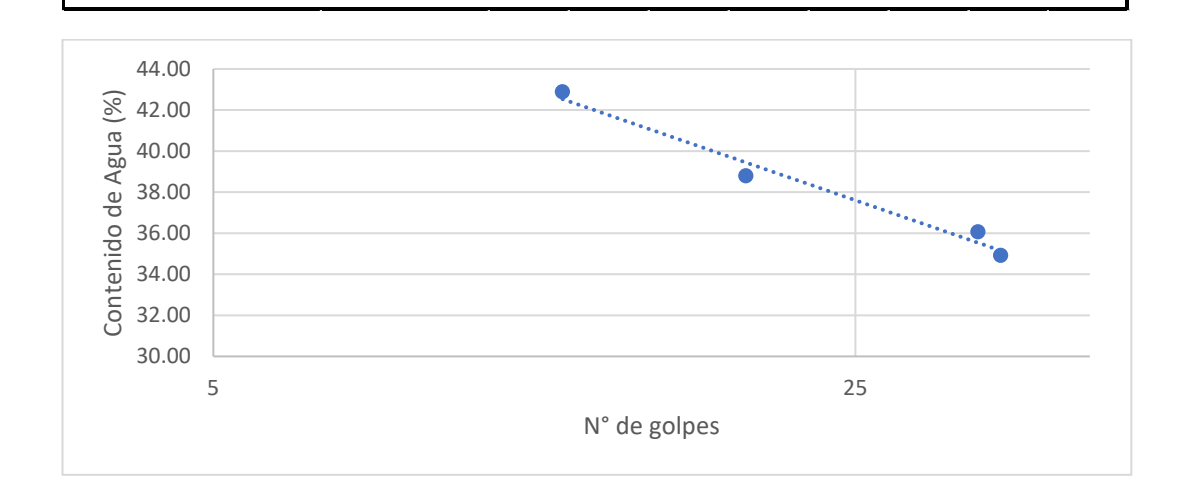
TAMIZ		MASA F	RETENIDA	%RETENIDO	O/DAC ANTEE	
Pulgadas	mm	PARCIAL (g)	ACUMULADO (g)	%KETENIDO	%PAS ANTI	
1/2	12,5	410,02	410,02	9,76	90,24	
3/8	9,5	279,27	689,29	16,40	83,60	
N°4	4,75	724,70	1413,99	33,64	66,36	
N°8	2,5	522,08	1936,07	46,06	53,94	
N°16	1,25	401,44	2337,51	55,62	44,38	
N°30	0,6	327,61	2665,12	63,41	36,59	
N°50	0,315	407,38	3072,50	73,10	26,90	
N°100	0,15	200,78	3273,28	77,88	22,12	
N°200	0,075	241,54	3514,82	83,63	16,37	
Masa que p	asa N°200					

Masa seca de suelo antes del lavado A(g)	4203,00
Masa seca de suelo después del lavado B (g)	3514,82
Masa que pasa el tamiz N° 200 (g)	688,18
Porcentaje de suelo fino que pasa el tamiz N° 200 (%)	16,37
01 .	



Anexo 3: Límites de consistencia de suelo natural.

FICHA DE LABORATORIO										
UNIVERSIDAD DEL AZUAY										
PRÁCTICA DE	PRÁCTICA DE LABORATORIO DE MECÁNICA DE SUELOS Nº4									
DETERMINACIÓN D	DETERMINACIÓN DE LOS LÍMITES DE CONSISTENCIA DETERMINACIÓN									
DEL LÍMITE LÍQUIDO										
•	Realizado por: Lisseth Alvarado y Diana Portilla									
Grupo: Muestra 1				13/02/2	.020		Ficha:	1/3		
Localización del suelo:			eleg, Az	uay						
Descripción de la mues		rumos					1			
Punto No			1		2		3		4	
N° de golp		1	2		9	3	4	36		
Recipiente	N°	10	14	3	4	1	2	13	9	
Masa del Recipiente (g)	m_1	30,76	30,85	30,76	30,61	30,29	30,67	29,94	30,26	
Masa del Recipiente + Suelo húmedo (g)	m_2	35,29	35,76	33,08	34,34	35,26	38,14	35,46	35,79	
Masa del Recipiente + Suelo seco (g)	m_3	33,90	34,32	32,43	33,30	33,91	36,21	34,02	34,37	
Masa de agua (g)	$m_2 - m_3$	1,39	1,44	0,65	1,04	1,35	1,93	1,44	1,42	
Masa de suelo seco (g)	$m_3 - m_1$	3,14	3,47	1,67	2,69	3,62	5,54	4,08	4,11	
Contenido de agua (%)	$\frac{m_2 - m_3}{m_3 - m_1} \ x \ 100$	44,27	41,50	38,92	38,66	37,29	34,84	35,29	34,55	
Contenido de agua Promedio (%) ω (%) 42,88 38,79 36,07 34,92										
Observaciones:										



UNIVERSIDAD DEL AZUAY

PRÁCTICA DE LABORATORIO DE MECÁNICA DE SUELOS Nº4 DETERMINACIÓN DE LOS LÍMITES DE CONSISTENCIA DETERMINACIÓN DEL LÍMITE PLÁSTICO



Realizado por: Lisseth Alvarado y l	Diana Portilla			0./0
Grupo: Muestra 1		Fecha: 10/02/2	020	2/3
L ocalización del suelo: Mina Musi	mus, Chordeleg,	Azuay		
Descripción de la muestra: Mixta s	in grumos			
Recipiente N°		16	19	74
Masa del Recipiente (g)	m_1	6,30	6,23	6,83
Masa del Recipiente + Suelo húmedo (g)	m_2	7,77	7,64	7,94
Masa del Recipiente + Suelo seco (g)	m_3	7,43	7,26	7,65
Masa de agua (g)	$m_2 - m_3$	0,34	0,38	0,29
Masa de suelo seco (g)	$m_3 - m_1$	1,13	1,03	0,82
Contenido de agua (%)	$\frac{m_2 - m_3}{m_3 - m_1} \ x \ 100$	30,09	36,89	35,37
Límite líquido	ω (%)		34,12	

FICH UNIVE PRÁCTICA DE LABOR DETERMINACIÓN I DETERMINA	8							
Grupo: Muestra 1	Realizado por: Lisseth Alvarado y Diana Portilla Grupo: Muestra 1 Fecha: 14/02/2020 Localización del suelo: Mina Musmus, Chordeleg, Azuay							
Límite Líquido ω (%) 37,70								
Límite Plástico	Límite Plástico ω (%) 34,12							

UNIVERSIDAD DEL AZUAY



DETERMINACIÓN DE LOS LÍMITES DE CONSISTENCIA DETERMINACIÓN DEL LÍMITE LÍQUIDO



34,43

Realizado por: Lisseth Alvarado y Diana Portilla 1/3 Grupo: Muestra 2 Fecha: 13/02/2020 Ficha: Localización del suelo: Mina Musmus, Chordeleg, Azuay Descripción de la muestra: Mixta sin grumos Punto N° 1 2 3 4 N° de golpes 23 26 37 Recipiente N° 8 12 18 41 11 6 29,88 30,71 30,99 30,68 Masa del Recipiente (g) 30,10 30,35 30,17 29,86 m_1 Masa del Recipiente + 34,98 34,27 36,33 37,05 38,79 36,13 34,43 33,60 m_2 Suelo húmedo (g) Masa del Recipiente + m_3 32,95 33,50 34,82 35,24 36,77 34,71 33,33 32,65 Suelo seco (g) Masa de agua (g) $m_2 - m_3$ 1,32 1,48 1,51 1,81 2,02 1,42 1,10 0,95 Masa de suelo seco (g) $m_3 - m_1$ 3,07 3,40 4,11 4,89 5,78 4,03 3,16 2,79 $\frac{m_2-m_3}{m_3-m_1} \; x \; 100$ Contenido de agua (%) 43,00 43,53 36,74 37,01 34,95 35,24 34,81 34,05 Contenido de agua

43,26

36,88

35,09

ω (%) Observaciones:

Promedio (%)



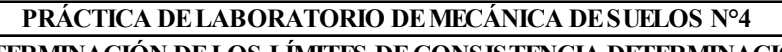
FICHA DE LABORATORIO UNIVERSIDAD DEL AZUAY PRÁCTICA DE LABORATORIO DE MECÁNICA DE SUELOS Nº4 RMINACIÓN DE LOS LÍMITES DE CONSISTENCIA DETERMINACIÓN DEL LÍMITE PLÁSTICO



DETERMINACIÓN DE LOS LÍMI DEL LÍ	MITE PLÁSTIC		ACON VICTORY	
Realizado por: Lisseth Alvarado y l				<u>!</u>
Grupo: Muestra 2		Fecha: 10/02/2	020	2/3
Localización del suelo: Mina Musi	mus, Chordeleg,	Azuay		
Descripción de la muestra: Mixta s	in grumos	·	Ι	
Recipiente N°		27	59	37
Masa del Recipiente (g)	m_1	6,18	6,94	6,83
Masa del Recipiente + Suelo húmedo (g)	m_2	7,14	7,65	7,84
Masa del Recipiente + Suelo seco (g)	m_3	6,92	7,48	7,59
Masa de agua (g)	$m_2 - m_3$	0,22	0,17	0,25
Masa de suelo seco (g)	$m_3 - m_1$	0,74	0,54	0,76
Contenido de agua (%)	$\frac{m_2 - m_3}{m_3 - m_1} \ x \ 100$	29,73	31,48	32,89
Límite líquido	ω (%)		31,37	

FICH UNIVE PRÁCTICA DE LABOR DETERMINACIÓN I DETERMINA	8							
Grupo: Muestra 2	Realizado por: Lisseth Alvarado y Diana Portilla Grupo: Muestra 2 Fecha: 14/02/2020 Localización del suelo: Mina Musmus, Chordeleg, Azuay							
Límite Líquido								
Límite Plástico	ω (%)	31,37						

UNIVERSIDAD DEL AZUAY





1/3

Ficha:

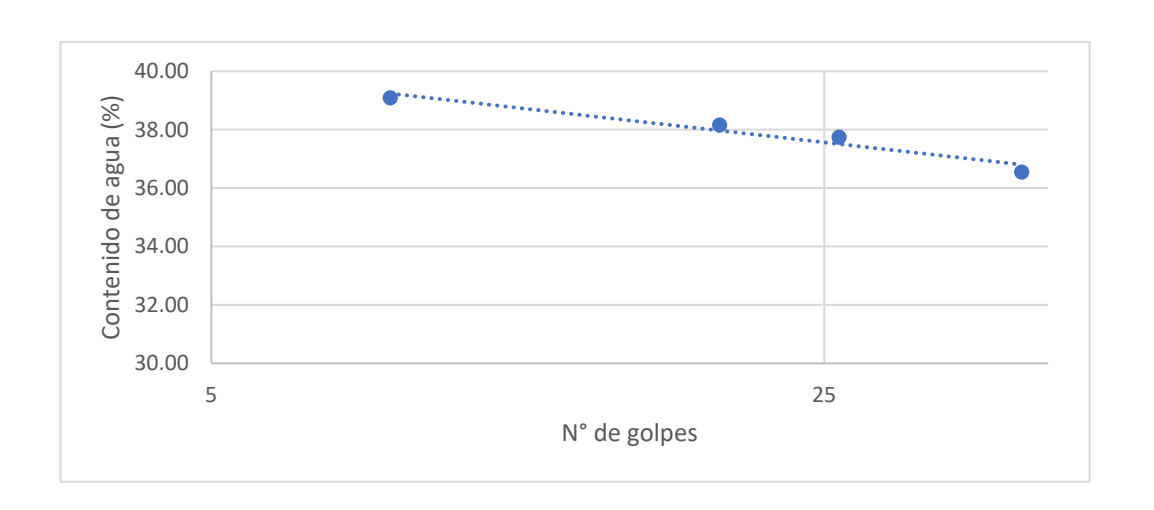
DETERMINACIÓN DE LOS LÍMITES DE CONSISTENCIA DETERMINACIÓN DEL LÍMITE LÍQUIDO

Realizado por: Lisseth Alvarado y Diana Portilla
Grupo: Muestra 3 Fecha: 13/02/2020

Localización del suelo: Mina Musmus, Chordeleg, Azuay

Descripción de la muestra: Mixta sin grumos

Descripcion de la mues	tra: Mixta sili gi	umos							
Punto No			1 2		2	3		4	
N° de golp	es	;	3	1	9	2	.6	42	
Recipiente	N°	56	27	21	70	224	366	367	70
Masa del Recipiente (g)	m_1	30,11	30,47	29,86	29,67	29,82	30,19	30,10	29,69
Masa del Recipiente + Suelo húmedo (g)	m_2	33,52	34,65	33,58	32,09	36,03	35,76	36,02	34,47
Masa del Recipiente + Suelo seco (g)	m_3	32,55	33,49	32,54	31,43	34,30	34,26	34,40	33,22
Masa de agua (g)	$m_2 - m_3$	0,97	1,16	1,04	0,66	1,73	1,50	1,62	1,25
Masa de suelo seco (g)	$m_3 - m_1$	2,44	3,02	2,68	1,76	4,48	4,07	4,30	3,53
Contenido de agua (%)	$\frac{m_2 - m_3}{m_3 - m_1} \ x \ 100$	39,75	38,41	38,81	37,50	38,62	36,86	37,67	35,41
Contenido de agua Promedio (%)	ω (%)	39	,08	38	,15	37	,74	36	,54
Observaciones:									



PRÁCTICA DE LABORATORIO DE MECÁNICA DE SUELOS Nº4





DEL LI	<u>ÍMITE PLÁSTIC</u>	0		
Realizado por: Lisseth Alvarado y	Diana Portilla			
Grupo: Muestra 3		Fecha: 10/02/2	2020	2/3
Localización del suelo: Mina Musi	mus, Chordeleg,	Azuay		
Descripción de la muestra: Mixta s	in grumos			
Recipiente N°		69	84	85
Masa del Recipiente (g)	m_1	6,79	6,85	6,74
Masa del Recipiente + Suelo húmedo (g)	m_2	7,60	7,47	7,54
Masa del Recipiente + Suelo seco (g)	m_3	7,40	7,31	7,33
Masa de agua (g)	$m_2 - m_3$	0,20	0,16	0,21
Masa de suelo seco (g)	$m_3 - m_1$	0,61	0,46	0,59
Contenido de agua (%)	$\frac{m_2 - m_3}{m_3 - m_1} \times 100$	32,79	34,78	35,59
Límite líquido	ω (%)		34,39	
Observaciones:				

FICE UNIVE PRÁCTICA DE LABOR DETERMINACIÓN I DETERMINA							
Realizado por: Lisseth Al Grupo: Muestra 3	3/3						
Localización del suelo: M	Localización del suelo: Mina Musmus, Chordeleg, Azuay						
Límite Líquido	ω (%)	37,70					
Límite Plástico	ω (%)	34,39					

Anexo 4: Determinación de la gravedad específica del suelo natural.

FICHA DE LABORATORIO UNIVERSIDAD DEL AZUAY PRÁCTICA DE LABORATORIO DE MECÁNICA DE SUELOS Nº2 DETERMINACIÓN DE LA GRAVEDAD ESPECÍFICA Realizado por: Lisseth Alvarado y Diana Portilla Fecha: 14/02/2020 Grupo: Muestra 1 Localización del suelo: Mina Musmus, Chordeleg, Azuay Descripción de la muestra: Muestra mixta sin grumos Método de ensayo: Matraz con agua Volúmen del matraz: 250ml Matraz N° 2 3 1 Temperatura de ensayo (°C) T_e 23 23 23 346,63 342,58 360,74 Mas a del matraz + agua (g) m_{fw} Mas a del matraz + agua +suelo 383,94 379,95 397,66 m_{fsw} (g) Recipiente Nº #1 #2 #3 Masa del recipiente (g) m_r 226,57 247,22 232,02 Mas a del recipiente + suelo m_{rss} 285,94 291,03 306,89 seco(g) $m_s = m_{rss} - m_r$ Masa de los sólidos de suelo (g) 59,37 59,67 59,01 Gravedad es pecífica a T°C de 2,691 2,676 2,671 ensayo $m_{fw}-(m_{fsw}-m_s)$ Coeficiente de temperatura k 0,99933 0,99933 0,99933 $G_{20^{\circ}C} = k * G_e$ Gravedad específica a 20°C 2,689 2,674 2,670 G_{S}

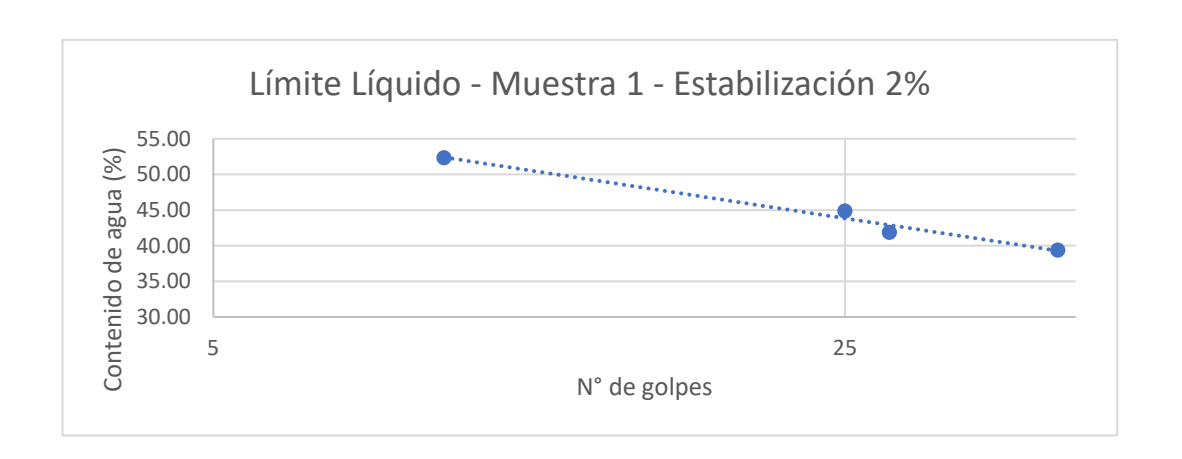
Observaciones: El coeficiente k, se obtuvo de la tabla de Densidad del agua y Coeficiente de temperatura (k) para diferentes temperaturas. Fuente: ASTM 854-02

2,678

Gravedad Específica

Anexo 5: Determinación de los Límites de Consistencia de las muestras estabilizadas con 2% y 4% de cemento.

FICHA DE LABORATORIO UNIVERSIDAD DEL AZUAY									
PRÁCTICA DE					ESUELO	OS Nº4			ነ
DETERMINACIÓN D		S DE C	ONSIST				CIÓN		
Realizado por: Lisseth									
Grupo: Muestra 1 - Esta	bilización 2%		Fecha:	24/07/2	020		Ficha:	1/3	
Localización del suelo:	Mina Musmus	, Chorde	eleg, Az	uay					
Descripción de la mues	tra: Mixta sin g	rumos							
Punto No)		1		2	,	3	4	4
N° de golp	es		9	2	25	2	28	4	13
Recipiente	N°	12	5	10	k1	27	4	18	52
Masa del Recipiente (g)	m_1	30,72	29,88	30,14	30,44	30,48	30,68	30,76	30,16
Masa del Recipiente + Suelo húmedo (g)	m_2	36,86	34,65	34,51	33,99	34,48	33,67	34,09	33,24
Masa del Recipiente + Suelo seco (g)	m_3	34,74	33,02	33,17	32,88	33,31	32,78	33,16	32,36
Masa de agua (g)	$m_2 - m_3$	2,12	1,63	1,34	1,11	1,17	0,89	0,93	0,88
Masa de suelo seco (g)	$m_3 - m_1$	4,02	3,14	3,03	2,44	2,83	2,10	2,40	2,20
Contenido de agua (%)	$\frac{m_2 - m_3}{m_3 - m_1} \ x \ 100$	52,74	51,91	44,22	45,49	41,34	42,38	38,75	40,00
Contenido de agua Promedio (%)	ω (%)	52,32		52,32 44,86		41,86		39,38	
Observaciones:									



PRÁCTICA DE LABORATORIO DE MECÁNICA DE SUELOS Nº4 DETERMINACIÓN DE LOS LÍMITES DE CONSISTENCIA DETERMINACIÓN DEL LÍMITE PLÁSTICO

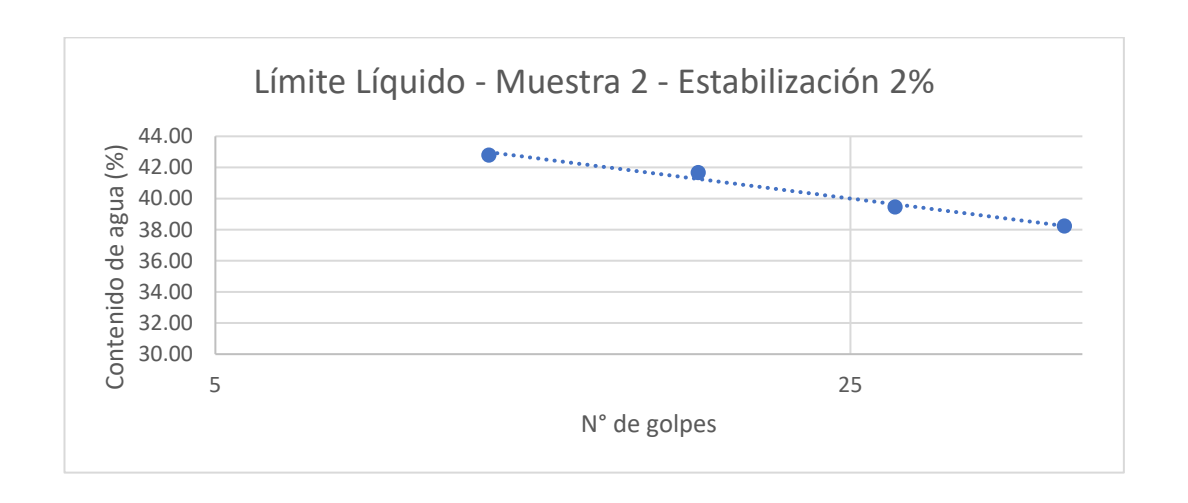


DEL LIMITE PLASTICO				
Diana Portilla				
%	Fecha: 24/07/2	020	2/3	
mus, Chordeleg,	Azuay			
in grumos				
	B2	33	70	
m_1	30,20	30,74	29,69	
m_2	31,00	31,93	30,48	
m_3	30,78	31,59	30,27	
$m_2 - m_3$	0,22	0,34	0,21	
$m_3 - m_1$	0,58	0,85	0,58	
$\frac{m_2 - m_3}{m_3 - m_1} \ x \ 100$	37,93	40,00	36,21	
ω (%)		38,05		
	Diana Portilla Mus, Chordeleg, in grumos m_1 m_2 m_3 $m_2 - m_3$ $m_3 - m_1$ $m_2 - m_3$ $m_3 - m_1$	Diana Portilla Poisson Fecha: $24/07/2$ mus, Chordeleg, Azuay in grumos B2 m_1 m_2 m_3 m_3 m_4 m_4 m_5 m_5 m_6 m_6 m_6 m_7 m_8	Diana Portilla % Fecha: $24/07/2020$ mus, Chordeleg, Azuay in grumos B2 33 m_1 $30,20$ $30,74$ m_2 $31,00$ $31,93$ m_3 $30,78$ $31,59$ $m_2 - m_3$ $0,22$ $0,34$ $m_3 - m_1$ $0,58$ $0,85$ $\frac{m_2 - m_3}{m_3 - m_1} x 100$ $37,93$ $40,00$	

FICH UNIVE PRÁCTICA DE LABOR DETERMINACIÓN I DETERMINA	3				
Realizado por: Lisseth Al- Grupo: Muestra 1 - Estabi Localización del suelo: M	3/3				
Límite Líquido	ω (%)	44,00			
Límite Plástico	ω (%)	38,05			

FICHA DE LABORATORIO UNIVERSIDAD DEL AZUAY PRÁCTICA DE LABORATORIO DE MECÁNICA DE SUELOS Nº4 DETERMINACIÓN DE LOS LÍMITES DE CONSISTENCIA DETERMINACIÓN DEL LÍMITE LÍQUIDO Realizado por: Lisseth Alvarado y Diana Portilla Fecha: 24/07/2020 Ficha: 1/3 **Grupo:** Muestra 2 - Estabilización 2% Localización del suelo: Mina Musmus, Chordeleg, Azuay Descripción de la muestra: Mixta sin grumos Punto N° 2 3 4 28 10 17 43 N° de golpes Recipiente N° 1'1 13 2 11 3x33 66 71 30,53 29,97 29,50 30,00 30,90 30,93 30,05 29,94 Masa del Recipiente (g) m_1 Masa del Recipiente + 37,56 35,32 35,66 35,81 35,30 38,89 35,31 34,77 m_2 Suelo húmedo (g) Masa del Recipiente + 35,29 m_3 34,12 33,60 34,11 34,06 36,63 33,86 33,43 Suelo seco (g) 1,70 Masa de agua (g) $m_2 - m_3$ 1,54 2,27 1,72 1,24 2,26 1,45 1,34 $m_3 - m_1$ Masa de suelo seco (g) 3,59 5,32 4,10 4,11 3,16 5,70 3,81 3,49 $\frac{m_2-m_3}{m_3-m_1} \; x \; 100$ 42,90 42,67 41,95 39,24 39,65 38,06 38,40 Contenido de agua (%) 41,36 Contenido de agua 42,78 41,66 39,44 38,23 ω (%)

Promedio (%)



PRÁCTICA DE LABORATORIO DE MECÁNICA DE SUELOS Nº4 DETERMINACIÓN DE LOS LÍMITES DE CONSISTENCIA DETERMINACIÓN DEL LÍMITE PLÁSTICO



DEL L	ÍMITE PLÁSTIC	0		
Realizado por: Lisseth Alvarado y	Diana Portilla			- 1-
Grupo: Muestra 2 - Estabilización 2	%	Fecha: 24/07/2	020	2/3
Localización del suelo: Mina Mus	mus, Chordeleg, A	Azuay		
Descripción de la muestra: Mixta s	in grumos			
Recipiente N°		1	2	3
Masa del Recipiente (g)	m_1	30,10	29,85	30,85
Masa del Recipiente + Suelo húmedo (g)	m_2	31,23	30,88	32,01
Masa del Recipiente + Suelo seco (g)	m_3	30,90	30,61	31,70
Masa de agua (g)	$m_2 - m_3$	0,33	0,27	0,31
Masa de suelo seco (g)	$m_3 - m_1$	0,80	0,76	0,85
Contenido de agua (%)	$\frac{m_2 - m_3}{m_3 - m_1} \times 100$	41,25	35,53	36,47
Límite líquido	ω (%)		37,75	

FICH UNIVE PRÁCTICA DE LABOR	25						
DETERMINACIÓN I DETERMINA							
Realizado por: Lisseth Alvarado y Diana Portilla Grupo: Muestra 2 - Estabilización 2% Fecha: 24/07/2020 3/3							
Localización del suelo: M	Localización del suelo: Mina Musmus, Chordeleg, Azuay						
Límite Líquido	ω (%)	39,00					
Límite Plástico	ω (%)	37,75					

UNIVERSIDAD DEL AZUAY



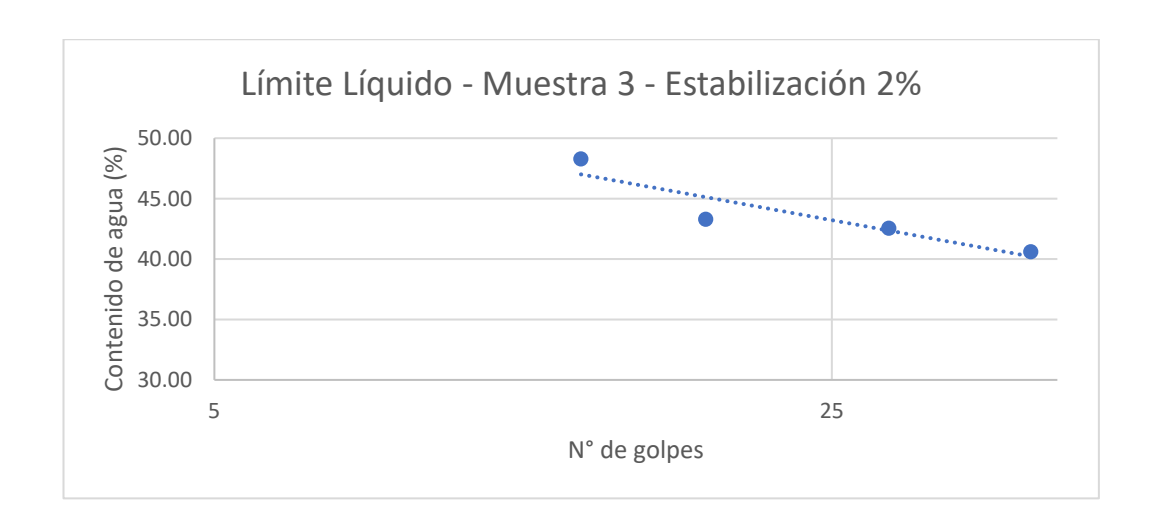
DETERMINACIÓN DE LOS LÍMITES DE CONSISTENCIA DETERMINACIÓN DEL LÍMITE LÍQUIDO

Promedio (%)

Observaciones:



Realizado por: Lisseth Alvarado y Diana Portilla 1/3 Ficha: **Grupo:** Muestra 3 - Estabilización 2% Fecha: 24/07/2020 Localización del suelo: Mina Musmus, Chordeleg, Azuay Descripción de la muestra: Mixta sin grumos Punto N° 29 42 N° de golpes 13 18 Recipiente N° 13 27 39 7 61 311 8 6 30,27 Masa del Recipiente (g) 30,23 30,73 30,05 30,82 31,81 30,69 30,97 m_1 Masa del Recipiente + 34,06 33,44 34,20 35,05 34,82 34,13 34,76 34,66 m_2 Suelo húmedo (g) Masa del Recipiente + m_3 32,40 33,92 32,82 33,10 32,95 33,79 33,59 33,59 Suelo seco (g) $m_2 - m_3$ Masa de agua (g) 1,24 1,04 1,03 1,25 1,26 0,90 1,17 1,07 Masa de suelo seco (g) $m_3 - m_1$ 2,55 2,17 2,37 2,90 2,97 2,11 2,90 2,62 $\frac{m_2 - m_3}{m_3 - m_1} \times 100$ 47,93 Contenido de agua (%) 48,63 43,46 43,10 42,42 42,65 40,34 40,84 Contenido de agua 48,28 43,28 42,54 40,59 ω (%)



PRÁCTICA DE LABORATORIO DE MECÁNICA DE SUELOS Nº4



35,63

DETERMINACIÓN DE LOS LÍMITES DE CONSISTENCIA DETERMINACIÓN DEL LÍMITE PLÁSTICO Realizado por: Lisseth Alvarado y Diana Portilla Fecha: 24/07/2020 2/3 **Grupo:** Muestra 3 - Estabilización 2% Localización del suelo: Mina Musmus, Chordeleg, Azuay Descripción de la muestra: Mixta sin grumos Recipiente N° 77 78 28 Masa del Recipiente (g) 31,52 30,74 30,19 m_1 Masa del Recipiente + Suelo 32,64 31,66 31,27 m_2 húmedo (g) Masa del Recipiente + Suelo seco m_3 32,33 31,00 31,42 (g) Masa de agua (g) $m_2 - m_3$ 0,31 0,24 0,27 Masa de suelo seco (g) $m_3 - m_1$ 0,81 0,68 0,81 $\frac{m_2 - m_3}{m_3 - m_1} \ x \ 100$ Contenido de agua (%) 38,27 35,29 33,33

ω (%)

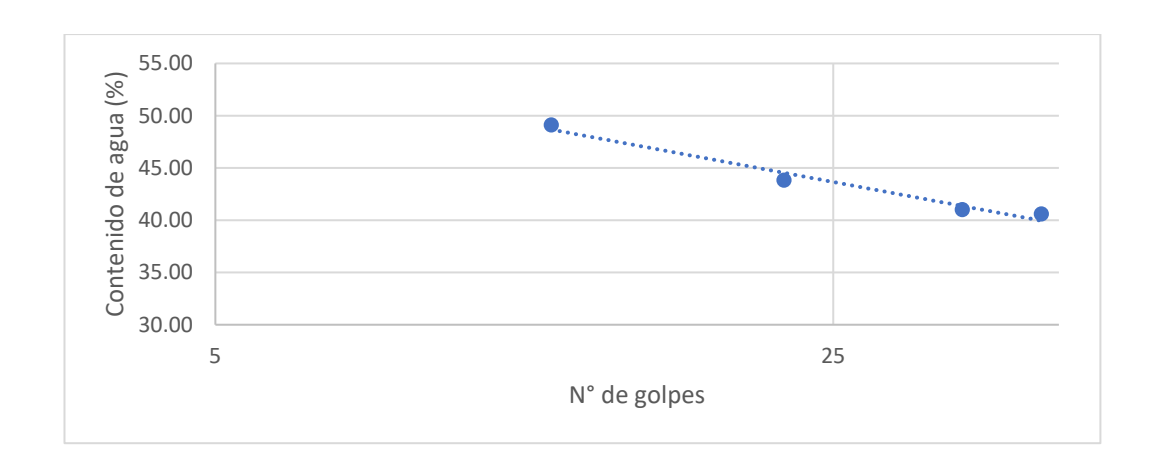
Observaciones:

Límite líquido

FICH UNIVE PRÁCTICA DE LABOR DETERMINACIÓN I DETERMINA	8					
Realizado por: Lisseth Al- Grupo: Muestra 3 - Estabi	3/3					
Grupo: Muestra 3 - Estabilización 2% Fecha: 24/07/2020 3/3 Localización del suelo: Mina Musmus, Chordeleg, Azuay						
Límite Líquido	ω (%)	43,00				
Límite Plástico	ω (%)	35,63				

Anexo 6: Determinación de los límites de consistencia, Muestra 1, 2 y 3, estabilizadas con 4% de cemento.

cemento.	FICHA DE I	LABOR	ATOR	Ю					
	UNIVERSIDAD DEL AZUAY							6	
PRÁCTICA DE	LABORATOR	IO DE N	MECÁN	ICA DE	SUELO	OS Nº4			
DETERMINACIÓN D				ΓENCIA	DETER	RMINA	CIÓN		
	DEL LÍM								
Realizado por: Lisseth A	•	a Portil							
Grupo: Muestra 1 - Esta				24/07/2	020		Ficha:	1/3	
Localización del suelo:			eleg, Az	uay					
Descripción de la mues	tra: Mixta sin g	rumos							
Punto No			1	2	2	í	3	4	4
N° de golp	es	1	2	2	.2	3	5	43	
Recipiente	N°	27	4	14	7	2	33	19c	6
Masa del Recipiente (g)	m_1	30,48	30,68	30,84	29,91	30,68	30,74	30,78	29,90
Masa del Recipiente + Suelo húmedo (g)	m_2	34,18	34,60	33,47	33,05	35,84	34,19	34,97	33,78
Masa del Recipiente + Suelo seco (g)	m_3	32,97	33,30	32,68	32,08	34,32	33,20	33,76	32,66
Masa de agua (g)	$m_2 - m_3$	1,21	1,30	0,79	0,97	1,52	0,99	1,21	1,12
Masa de suelo seco (g)	$m_3 - m_1$	2,49	2,62	1,84	2,17	3,64	2,46	2,98	2,76
Contenido de agua (%)	$\frac{m_2 - m_3}{m_3 - m_1} \ x \ 100$	48,59	49,62	42,93	44,70	41,76	40,24	40,60	40,58
Contenido de agua Promedio (%)	ω (%)	49,11		43,82		41,00		40,59	



FICHA DE LABORATORIO UNIVERSIDAD DEL AZUAY PRÁCTICA DE LABORATORIO DE MECÁNICA DE SUELOS Nº4 DETERMINACIÓN DE LOS LÍMITES DE CONSISTENCIA DETERMINACIÓN DEL LÍMITE PLÁSTICO Realizado por: Lisseth Alvarado y Diana Portilla 2/3 Fecha: 24/07/2020 **Grupo:** Muestra 1 - Estabilización 4% Localización del suelo: Mina Musmus, Chordeleg, Azuay Descripción de la muestra: Mixta sin grumos Recipiente Nº 33 52 c2 Masa del Recipiente (g) 30,94 30,13 30,12 m_1 Masa del Recipiente + Suelo m_2 32,14 31,35 31,22 húmedo (g) Masa del Recipiente + Suelo seco m_3 31,82 31,08 30,93 (g) Masa de agua (g) m_2-m_3 0,32 0,27 0,29 $m_3 - m_1$ Masa de suelo seco (g) 0,88 0,95 0,81

 $\frac{m_2-m_3}{m_3-m_1} \; x \; 100$

ω (%)

36,36

28,42

33,53

35,80

Contenido de agua (%)

Límite líquido

FICH						
UNIVE	RSIDAD DI	EL AZUAY	30			
PRÁCTICA DE LABOR	ATORIO DE M	MECÁNICA DE SUELOS Nº4				
		TES DE CONSISTENCIA				
DETERMINA	CIÓN DEL LÍ	MITE PLÁSTICO				
Realizado por: Lisseth Alvarado y Diana Portilla						
Grupo: Muestra 1 - Estabi	3/3					
Localización del suelo: M	lina Musmus, (Chordeleg, Azuay				
Límite Líquido	ω (%)	43,40				
Límite Plástico	ω (%)	33,53				

UNIVERSIDAD DEL AZUAY



DETERMINACIÓN DE LOS LÍMITES DE CONSISTENCIA DETERMINACIÓN DEL LÍMITE LÍQUIDO



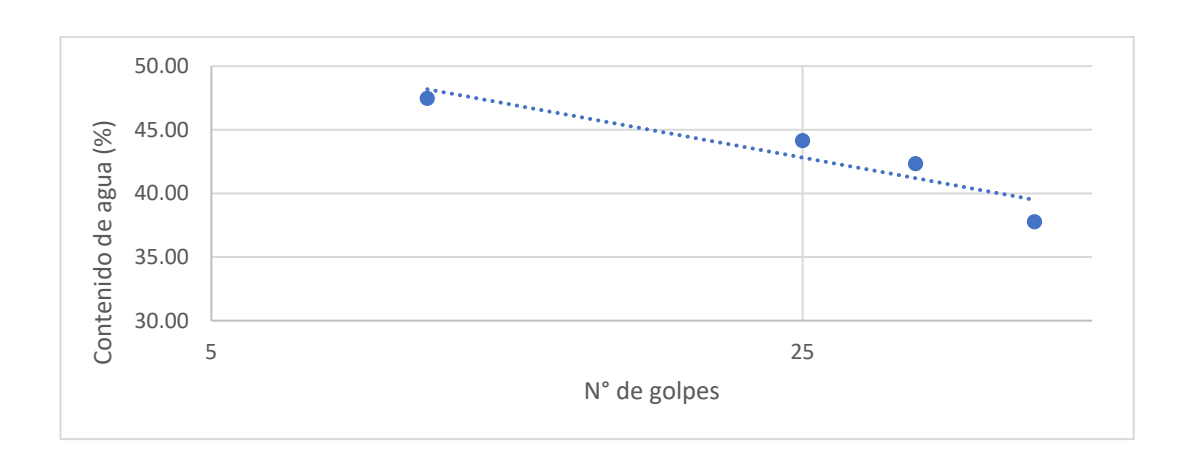
Realizado por: Lisseth Alvarado y Diana Portilla

Grupo: Muestra 2 - Estabilización 4% Fecha: 24/07/2020 Ficha: 1/3

Localización del suelo: Mina Musmus, Chordeleg, Azuay

Descripción de la muestra: Mixta sin grumos

Descripcion de la muestra: Mixta sin grumos									
Punto No			1	2		3		4	
N° de golp	es	9	9	2	25	3	34	4	.7
Recipiente	N°	9	4	5	11	12	367	3x	11
Masa del Recipiente (g)	m_1	30,27	29,97	30,16	30,69	30,70	30,05	30,92	30,00
Masa del Recipiente + Suelo húmedo (g)	m_2	34,70	34,15	34,12	34,64	35,96	35,01	35,82	34,95
Masa del Recipiente + Suelo seco (g)	m_3	33,29	32,79	32,96	33,38	34,39	33,54	34,47	33,60
Masa de agua (g)	$m_2 - m_3$	1,41	1,36	1,16	1,26	1,57	1,47	1,35	1,35
Masa de suelo seco (g)	$m_3 - m_1$	3,02	2,82	2,80	2,69	3,69	3,49	3,55	3,60
Contenido de agua (%)	$\frac{m_2 - m_3}{m_3 - m_1} \ x \ 100$	46,69	48,23	41,43	46,84	42,55	42,12	38,03	37,50
Contenido de agua Promedio (%)	ω (%)	47	,46	44	,13	42	,33	37	,76



UNIVERSIDAD DEL AZUAY



PRÁCTICA DE LABORATORIO DE MECÁNICA DE SUELOS Nº4 DETERMINACIÓN DE LOS LÍMITES DE CONSISTENCIA DETERMINACIÓN DEL LÍMITE PLÁSTICO

DEL LIMITE F LASTICO				
Realizado por: Lisseth Alvarado y : Grupo: Muestra 2 - Estabilización 4		Fecha: 24/07/2	020	2/3
Localización del suelo: Mina Musi			020	·
Descripción de la muestra: Mixta s	in grumos	1		
Recipiente N°		9	6	12
Masa del Recipiente (g)	m_1	29,86	29,93	30,01
Masa del Recipiente + Suelo húmedo (g)	m_2	30,64	30,76	31,14
Masa del Recipiente + Suelo seco (g)	m_3	30,43	30,56	30,85
Masa de agua (g)	$m_2 - m_3$	0,21	0,20	0,29
Masa de suelo seco (g)	$m_3 - m_1$	0,57	0,63	0,84
Contenido de agua (%)	$\frac{m_2 - m_3}{m_3 - m_1} \times 100$	36,84	31,75	34,52
Límite líquido	ω (%)		34,37	
Observaciones:				

FICE UNIVE PRÁCTICA DE LABOR DETERMINACIÓN DETERMINA	S				
Realizado por: Lisseth Al- Grupo: Muestra 2 - Estabi Localización del suelo: M	3/3				
Límite Líquido	ω (%)	43,00			
Límite Plástico	ω (%)	34,37			

UNIVERSIDAD DEL AZUAY

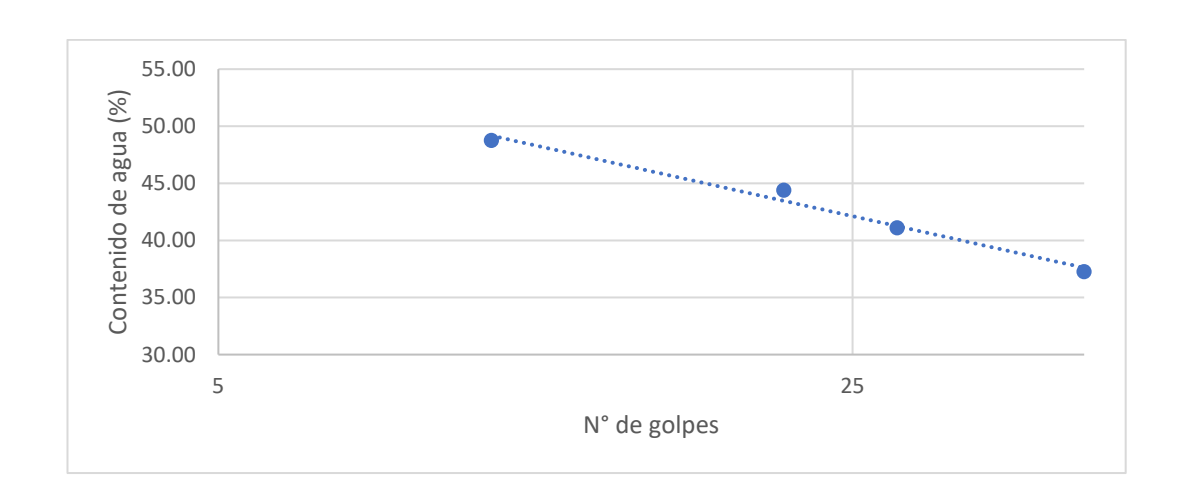
PRÁCTICA DE LABORATORIO DE MECÁNICA DE SUELOS Nº4

DETERMINACIÓN DE LOS LÍMITES DE CONSISTENCIA DETERMINACIÓN DEL LÍMITE LÍQUIDO



Realizado por: Lisseth Alvarado y Diana Portilla Ficha: 1/3 **Grupo:** Muestra 3 - Estabilización 4% Fecha: 24/07/2020 Localización del suelo: Mina Musmus, Chordeleg, Azuay Descripción de la muestra: Mixta sin grumos Punto N° 1 28 45 N° de golpes 10 21 9 2 Recipiente N° 11 1 5 7 18 21 Masa del Recipiente (g) 30,29 30,68 30,29 30,17 29,91 31,01 30,68 29,86 m_1 Masa del Recipiente + 34,42 36,03 33,32 32,56 37,91 38,50 36,70 34,84 m_2 Suelo húmedo (g) Masa del Recipiente + m_3 34,14 33,20 32,37 31,84 35,81 33,40 36,46 34,85 Suelo seco (g) $m_2 - m_3$ 1,22 0,95 0,72 2,10 1,44 2,04 Masa de agua (g) 1,89 1,85 Masa de suelo seco (g) $m_3 - m_1$ 3,85 2,52 2,08 1,67 5,13 3,49 5,45 4,99 $\frac{\overline{m_2}-m_3}{2} \times 100$ Contenido de agua (%) 49,09 48,41 45,67 43,11 40,94 41,26 37,43 37,07 $\overline{m_3-m_1}$ Contenido de agua ω (%) 48,75 44,39 41,10 37,25 Promedio (%)

Observaciones:_____



PRÁCTICA DE LABORATORIO DE MECÁNICA DE SUELOS Nº4 DETERMINACIÓN DE LOS LÍMITES DE CONSISTENCIA DETERMINACIÓN DEL LÍMITE PLÁSTICO

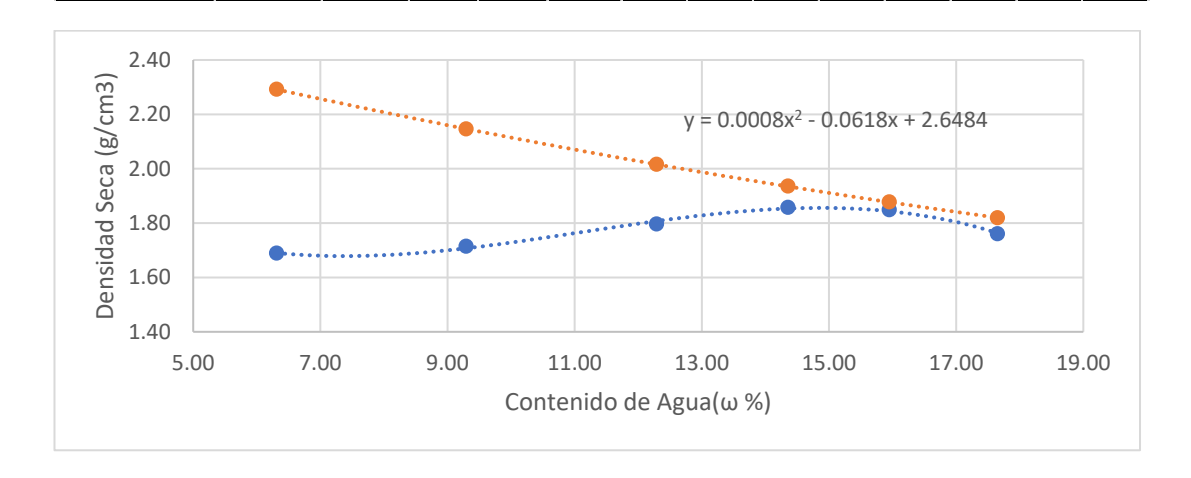


DELLI	MITE PLÁSTIC		ANIMACION	
Realizado por: Lisseth Alvarado y				
Grupo: Muestra 3 - Estabilización 4	%	Fecha: 24/07/2	2020	2/3
Localización del suelo: Mina Musi	mus, Chordeleg,	Azuay		
Descripción de la muestra: Mixta s	in grumos			
Recipiente N°		224	222	367
Masa del Recipiente (g)	m_1	29,83	31,86	30,04
Masa del Recipiente + Suelo húmedo (g)	m_2	30,81	32,66	31,12
Masa del Recipiente + Suelo seco (g)	m_3	30,54	32,45	30,83
Masa de agua (g)	$m_2 - m_3$	0,27	0,21	0,29
Masa de suelo seco (g)	$m_3 - m_1$	0,71	0,59	0,79
Contenido de agua (%)	$\frac{m_2 - m_3}{m_3 - m_1} \times 100$	38,03	35,59	36,71
Límite líquido	ω (%)		36,78	

FICH UNIVE PRÁCTICA DE LABOR DETERMINACIÓN I DETERMINA	8		
Realizado por: Lisseth Al- Grupo: Muestra 3 - Estabi Localización del suelo: M	lización 4%	Fecha: 24/07/2020	3/3
Límite Líquido	ω (%)	42,00	
Límite Plástico	ω (%)	36,78	

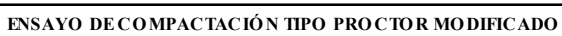
Anexo 7: Ensayo Proctor Modificado del Suelo Natural.

		FIC	CHA DE	LABOR	ATO RIO							5			
		UNI	VERSII	OAD DE	L AZUA	Y					- (75			
	PRÁCTICA											U			
	ENSAYO D			N TIPO	PROCT	OR MO	DIFICA	DO							
Realizado por: Liss		y Diana Po	rtilla												
Grupo: Muestra 1-						Fecha:	17/02/20	20							
Localización del s			-												
Descripción de la 1															
V. del molde:	2288	_		l martill	o: 44,5N	Nº de ca	apas: 5		N° de g	olpes /ca	ipa: 56				
Punto 1 2 3 4 5 6															
Punto 1 2 3 4 5 6 Recipiente N° 1 3 4 5 6 7 8 10 7 3m 11 12															
Recipient	Masa del 2026 2076 2061 2010 2000 2001 2000 2001 2076 2072 2070														
recipiente (g)	1 m ₂ 1 30.20 1 30.70 1 30.01 1 30.10 1 29.09 1 29.91 1 30.00 1 30.03 1 30.04 1 31.70 1 30.32 1 30.00														
recipiente + suelo húmedo (g)	m_2	132,92	132,92 163,48 101,64 112,23 110,69 101,96 90,70 83,05 125,34 1									114,50	99,08		
Masa del recipiente + suelo seco (g)	m_3	126,41	156,14	95,69	105,15	101,53	94,36	82,30	75,92	113,96	113,28	101,80	88,90		
Contenido de agua (%)	$\frac{m_2 - m_3}{m_3 - m_1} x 100$	6,77	5,85	9,14	9,44	12,79	11,79	16,09	15,81	13,56	15,15	17,82	17,49		
Contenido de agua promedio	ω (%)	6,3	1	9,	29	12.	,29	15	,95	14	,36	17,	,65		
Determinación de	las densidad	les													
Punto		1		:	2	3	3	4	1		5	6	6		
Masa del molde (g)	m_4	471	4	47	'15	47	16	47	17	47	18	47	19		
Masa del molde + suelo húmedo (g)	m_5	882	2	90	002	93	30	96	21	95	78	94	-58		
Masa del suelo húmedo (g)	$m_{5}_{-}m_{4}$	410	8	42	87	46	14	49	04	48	60	47	39		
	$\rho t = \frac{m_5 - 4}{V}$	1,79	95	1,8	374	2,0	017	2,1	43	2,1	24	2,0	71		
Densidad seca (g/cm3)	$\rho d = \frac{\rho t}{1 + (\frac{\omega}{100})}$	1,6	9	1,	71	1,	80	1,	85	1,	86	1,	76		
Saturación (g/cm3) $\rho \text{Sat} = \frac{Pw}{\frac{1}{G} + w}$ 2,292 2,146 2,016 1,877 1,935 1,819															



UNIVERSIDAD DEL AZUAY

PRÁCTICA DE LABORATORIO DE MECÁNICA DE SUELOS Nº5



Realizado por: Lisseth Alvarado y Diana Portilla

Grupo: Muestra 2- Suelo Natural Fecha: 17/02/2020

Localización del suelo: Mina Musmus, Chordeleg, Azuay

Descripción de la muestra: Muestra mixta sin grumos

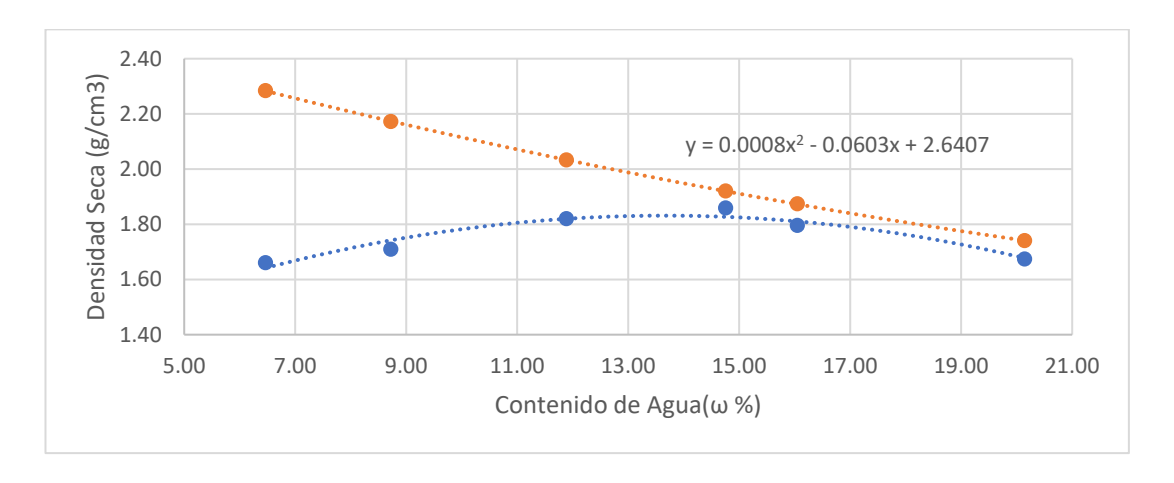
V. del molde: 2288 cm3 Peso del martillo: 44,5N N° de capas: 5 N° de golpes /capa: 56

Determinación de los contenidos de agua

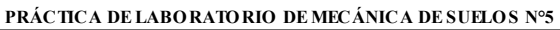
	1		2		3		4		5		(5
e N°	23	18	35	15	11	19	2	7	3	9	38	52
m_1	30,01	31,02	30,02	30,45	29,73	30,79	30,68	30,35	30,72	29,94	30,80	30,08
m_2	149,65	154,27	117,03	123,05	106,17	113,08	121,27	105,01	123,45	129,27	157,67	189,91
m_3	141,59	147,61	109,82	115,86	97,99	104,40	109,80	95,26	110,14	116,06	136,51	162,97
$\frac{m_2 - m_3}{m_3 - m_1} x 100$	7,22	5,71	9,04	8,42	11,98	11,79	14,50	15,02	16,76	15,34	20,02	20,27
ω (%)	6,4	7	8,	73	11	,89	14.	,76	16	,05	20.	,14
	m_1 m_2 m_3 m_{3-m_1} m_3	m_1 30,01 m_2 149,65 m_3 141,59 $m_2 = \frac{m_2 - m_3}{m_3 - m_1} x 100$ 7,22	e N° 23 18 m_1 30,01 31,02 m_2 149,65 154,27 m_3 141,59 147,61 $\frac{m_2 - m_3}{m_3 - m_1} x 100$ 7,22 5,71	e N° 23 18 35 m_1 30,01 31,02 30,02 m_2 149,65 154,27 117,03 m_3 141,59 147,61 109,82 $\frac{m_2 - m_3}{m_3 - m_1} x 100$ 7,22 5,71 9,04	m_1 m_2 m_3 m_4	e N° 23 18 35 15 11 m_1 30,01 31,02 30,02 30,45 29,73 m_2 149,65 154,27 117,03 123,05 106,17 m_3 141,59 147,61 109,82 115,86 97,99 $\frac{m_2 - m_3}{m_3 - m_1} x 100$ 7,22 5,71 9,04 8,42 11,98	m_1 m_1 m_2 m_2 m_3 m_4	m_1 m_2 m_3 m_3 m_4 <	m_1 m_2 m_3 m_4	m_1 m_2 m_3 m_4	m_1 m_2 m_3 m_4	e N° 23 18 35 15 11 19 2 7 3 9 38 m_1 30,01 31,02 30,02 30,45 29,73 30,79 30,68 30,35 30,72 29,94 30,80 m_2 149,65 154,27 117,03 123,05 106,17 113,08 121,27 105,01 123,45 129,27 157,67 m_3 141,59 147,61 109,82 115,86 97,99 104,40 109,80 95,26 110,14 116,06 136,51 $m_2-m_3 \atop m_3-m_1$ 7,22 5,71 9,04 8,42 11,98 11,79 14,50 15,02 16,76 15,34 20,02

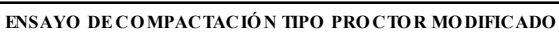
Determinación de las densidades

Determinación de	ias densidad	ies					
Punto		1	2	3	4	5	6
Masa del molde (g)	m_4	4714	4715	4716	4717	4718	4719
Masa del molde + suelo húmedo (g)	m_5	8759	8967	9375	9597	9486	9320
Masa del suelo húmedo (g)	$m_{5}_{-}m_{4}$	4045	4252	4659	4880	4768	4601
Densidad húmeda (g/cm3)	$\rho t = \frac{m_5 - 4}{V}$	1,768	1,858	2,036	2,133	2,084	2,011
Densidad seca (g/cm3)	$\rho d = \frac{\rho t}{1 + (\frac{\omega}{100})}$	1,66	1,71	1,82	1,86	1,80	1,67
Saturación (g/cm3)	$\rho sat = \frac{Pw}{\frac{1}{Gs} + w}$	2,284	2,172	2,032	1,920	1,874	1,740



UNIVERSIDAD DEL AZUAY





Realizado por: Lisseth Alvarado y Diana Portilla

Grupo: Muestra 3- Suelo Natural Fecha: 17/02/2020

Localización del suelo: Mina Musmus, Chordeleg, Azuay

Descripción de la muestra: Muestra mixta sin grumos

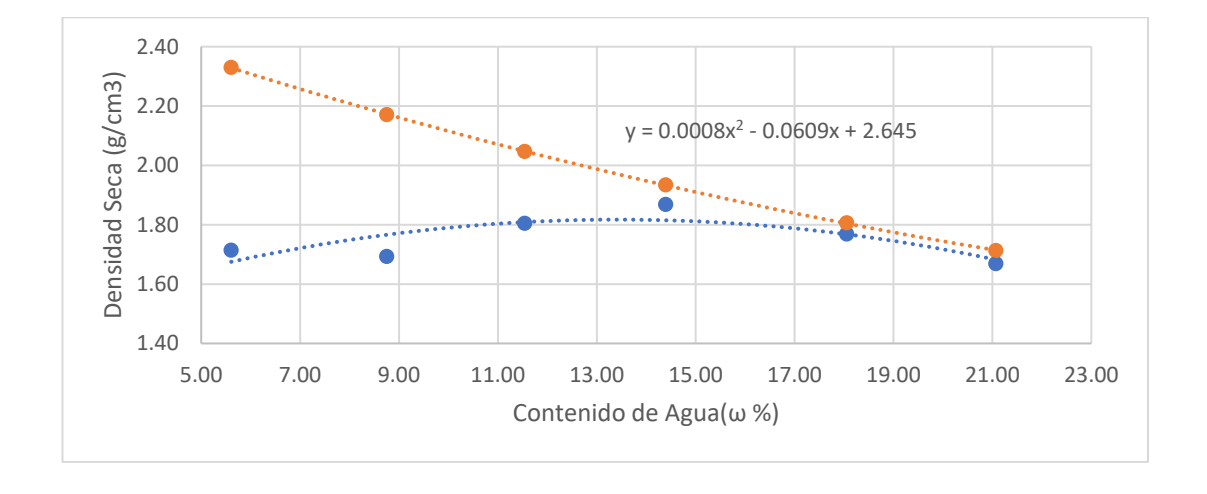
V. del molde: 2288 cm3 Peso del martillo: 44,5N Nº de capas: 5 Nº de golpes /capa: 56

Determinación de los contenidos de agua

Betermination de	t 103 contentuos de agua												
Punto	1	1		2		3		4		5		(5
Recipient	e N°	70	224	10	33	29	66	14	21	71	308	4	36
Masa del recipiente (g)	m_1	29,68	29,84	30,14	30,93	30,74	30,04	30,84	29,85	29,93	30,61	30,33	30,64
Masa del recipiente + suelo húmedo (g)	m_2	192,14	185,22	143,79	140,72	124,72	107,40	111,15	118,49	143,62	139,14	157,92	162,36
Masa del recipiente + suelo seco (g)	m_3	183,64	176,85	134,72	131,81	114,72	99,62	101,14	107,23	126,71	122,09	135,63	139,52
Contenido de agua (%)	$\frac{m_2-m_3}{m_3-m_1}x100$	5,52	5,69	8,67	8,83	11,91	11,18	14,24	14,55	17,47	18,64	21,17	20,98
Contenido de agua promedio	ω (%)	5,6	1	8,	,75	11	,54	14.	,40	18	,06	21,	,07

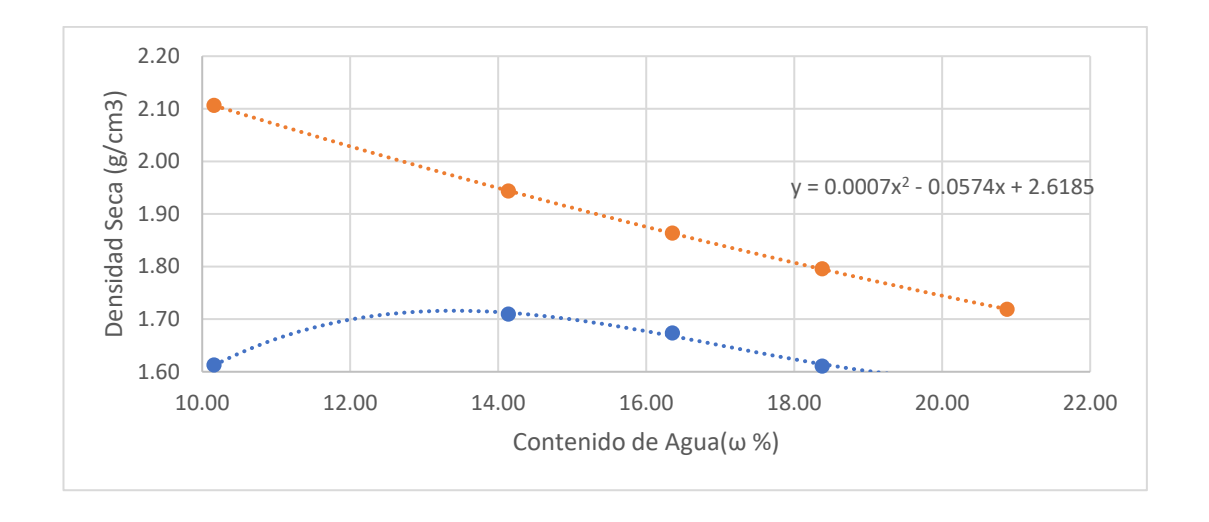
Determinación de las densidades

Determinación de	ias densidad	ies					
Punto		1	2	3	4	5	6
Masa del molde (g)	m_4	4409	4409	4409	4409	4409	4409
Masa del molde + suelo húmedo (g)	m_5	8550	8621	9014	9298	9185	9031
Masa del suelo húmedo (g)	$m_{5}_{-}m_{4}$	4141	4212	4605	4889	4776	4622
Densidad húmeda (g/cm3)	$\rho t = \frac{m_5 - 4}{V}$	1,810	1,841	2,013	2,137	2,087	2,020
Densidad seca (g/cm3)	$\rho d = \frac{\rho t}{1 + (\frac{\omega}{100})}$	1,71	1,69	1,80	1,87	1,77	1,67
Saturación (g/cm3)	$\rho sat = \frac{Pw}{\frac{1}{Gs} + w}$	2,330	2,171	2,047	1,934	1,806	1,713



Anexo 8: Ensayo Proctor modificado del suelo estabilizado con 2% de cemento.

	FIC	HA DE I	ABORAT	ORIO			-							
	UNI	VERSI	AD DEL A	AZUAY					_ (ρς				
PRÁCTI	CA DE LABO	RATOR	IO DE ME	CÁNICA	DESUE	LOS Nº	5			U				
ENSAYO	DE COMPA	CTACIÓ	N TIPO P	ROCTO	R MODI	FICADO)							
Realizado por: Lisseth	Alvarado y Dia	ana Porti	illa											
Grupo: Muestra 1- Esta	ıbilización 2%				Fecha:	03/08/20)20							
Localización del suelo:	Mina Musmus	s, Chord	eleg, Azua	у	<u>-</u>									
Des cripción de la mues	stra: Muestra 1	nixta s in	grumos											
V. del molde (cm3):	2288	Peso	del martill	o: 44,5N	N° de c	apas: 5		N°	de golp	es /capa	: 56			
Determinación de los c	ontenidos de a	gua				•				-				
Punto 1 2 3 4 5														
Recipiente	N°	5	10	7	14	11	18	66	260	11	12			
Masa del recipiente (g) 29,88 29,87 29,91 30,82 30,69 31,00 30,08 29,81 30,67 30,02 (ds. del recipiente +														
Mas a del recipiente + suelo húmedo (g)	m_2	n ₂ 162,56 157,98 132,12 151,21 86,05 88,09 68,67 60,93 141,17 126,												
Mas a del recipiente + suelo seco (g)	m_3	150,27	146,21	119,48	136,27	78,10	80,24	62,75	56,04	121,04	110,40			
Contenido de agua (%)	$\frac{m_2 - m_3}{m_3 - m_1} x 100$	10,21	10,12	14,11	14,17	16,77	15,94	18,12	18,64	22,28	19,48			
Contenido de agua promedio	ω (%)	1	0,16	14,	14	16	,36	18,38		20,	,88			
Dotominosión de los d	la a a da da a													
Determinación de las d	ienstdades					l .								
Punto			1	3		- 4	1		5	(5			
Mas a del molde (g)	m_4	6	671	66	71	66	571	66	571	66	571			
Mas a del molde +		1/	7726	111	25	11	126	111	022	11/	050			
s uelo húmedo (g)	m_5	10	0736	111	33	11	126	11	033	110	059			
Masa del suelo húmedo (g)	$m_{5}_{-}m_{4}$	4	065	440	64	44	155	43	362	43	88			
Densidad húmeda (g/cm3)	$\rho t = \frac{m_5 - 4}{V}$	1.	,777	1,9	51	1,9	947	1,9	906	1,9	918			
Densidad seca (g/cm3)	$\rho d = \frac{\rho t}{1 + (\frac{\omega}{100})}$	1	,61	1,7	'1	1,	67	1,	61	1,:	59			
Saturación (g/cm3)	$\rho sat = \frac{Pw}{\frac{1}{Gs} + w}$	2,	,106	1,94	44	1,8	363	1,7	795	1,7	718			
Observaciones:														



UNIVERSIDAD DEL AZUAY

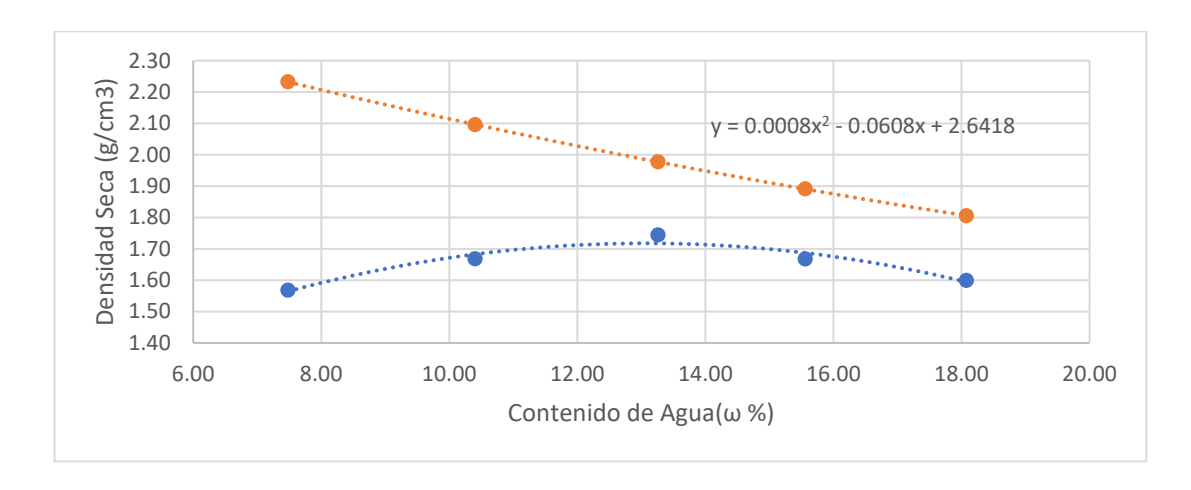


ENSAYO DE COMPACTACIÓN TIPO PROCTOR MODIFICADO

Realizado por: Lisseth	Alvarado y Dia	ana Porti	lla	•							
Grupo: Muestra 2- Esta	bilización 2%				Fecha:	03/08/20)20				
Localización del suelo:	Mina Musmus	s, Chord	eleg, Azua	ıy							
Des cripción de la mues	tra: Muestra 1	nixta s in	grumos								
V. del molde (cm3):	2288	Peso	lel martill	o: 44,5N	N° de c	apas: 5		N°	de golp	es /capa	: 56
Determinación de los c	ontenidos de a	gua									
Punto			1	2			3		4	,	5
Recipiente	N°	5	7	9	18	33	77	260	222	3	4
Masa del recipiente (g)	m_1	29,87	29,92	29,86	31,03	30,94	30,73	29,79	31,86	30,74	30,68
Mas a del recipiente + suelo húmedo (g)	m_2	172,90	159,13	129,62	126,66	140,84	132,99	153,86	142,39	131,20	113,22
Mas a del recipiente + suelo seco (g)	m_3	163,07 150,02		120,03	117,83	128,14	120,86	137,74	126,99	116,02	100,42
Contenido de agua (%)	$\frac{m_2 - m_3}{m_3 - m_1} x 100$	7,38	7,59	10,64	10,17	13,07	13,46	14,93	16,19	17,80	18,35
Contenido de agua promedio	ω (%)	7	7,48	10,	40	13	,26	15	,56	18	,08
Determinación de las d	lensidades	ı				ı		1		ı	
Punto			1	3		4	1	!	5	(5
Mas a del molde (g)	m_4	6	671	66′	71	66	571	66	571	66	571
Mas a del molde + suelo húmedo (g)	m_5	10)527	108	84	11	190	110	080	109	991
Masa del suelo húmedo (g)	$m_{5-}m_{4}$	3856		42	13	45	19	44	109	43	20
Densidad húmeda (g/cm3)	$\rho t = \frac{m_5 - 4}{V}$	1,685		1,84	41	1,975		1,9	927	1,888	
Densidad seca (g/cm3)	$\rho d = \frac{\rho t}{1 + (\frac{\omega}{100})}$	1	,57	1,6	57	1,	74	1,67		1,60	
	. Pw										

Observaciones:

Saturación (g/cm3)



2,096

1,977

1,891

1,805

2,232

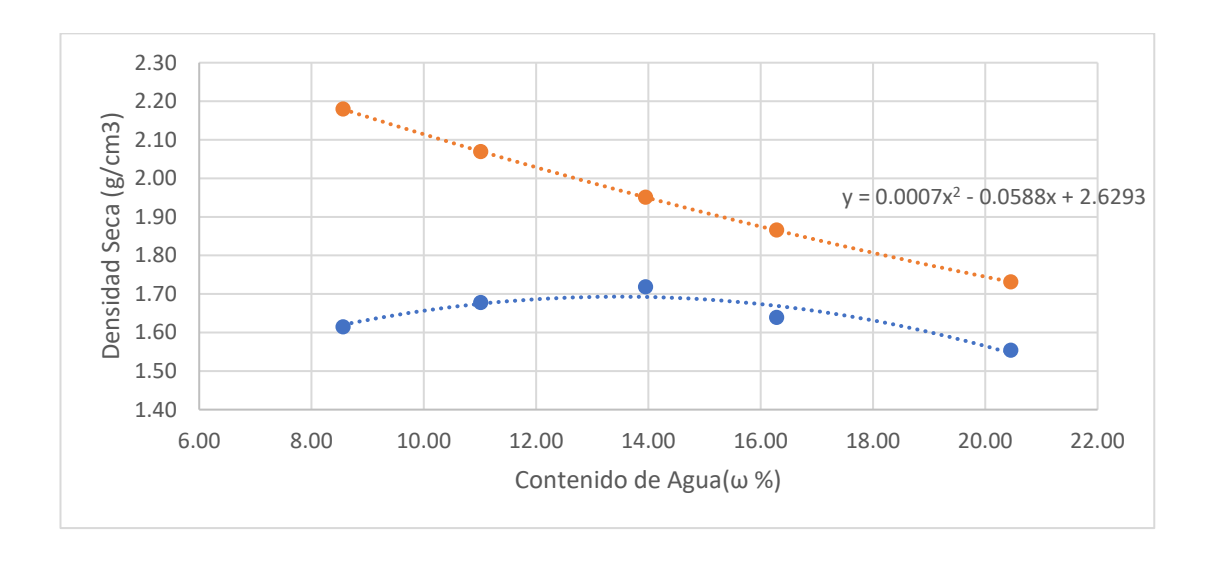
UNIVERSIDAD DEL AZUAY





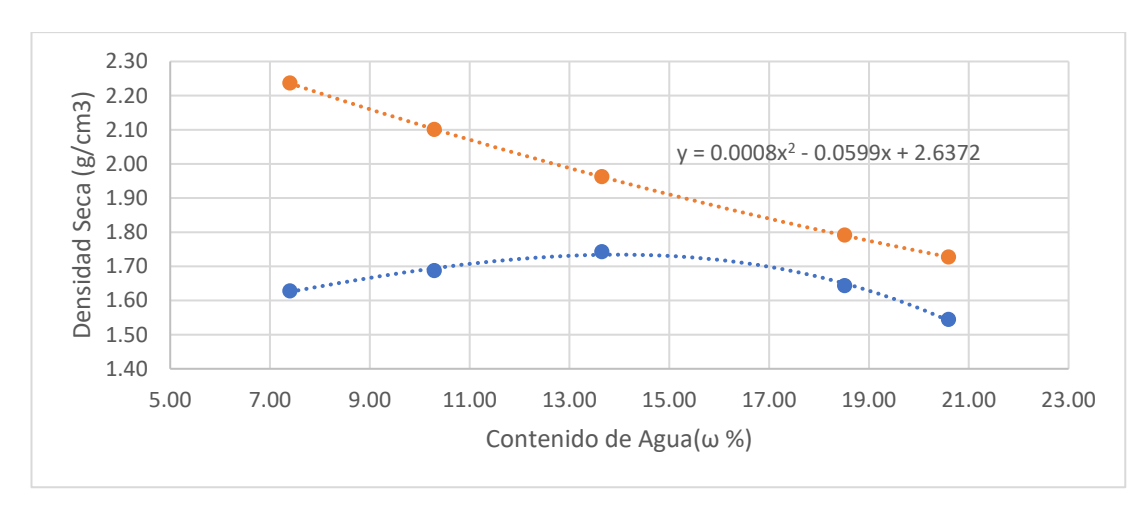
Realizado por: Lisseth Alvarado y Diana Portilla

Realizado por . Lissetii .	invariado y Die	and rotti	IIC								
Grupo: Muestra 3- Esta	bilización 2%				Fecha:	03/08/20)20				
Localización del suelo:	Mina Musmus	s, Chorde	eleg, Azua	У							
Descripción de la mues	tra: Muestra r	nixta s in	grumos								
V. del molde (cm3):	2288	Peso	lel martill	o: 44,5N	Nº de c	apas: 5		N°	de golp	es /capa	: 56
Determinación de los c	ontenidos de a	gua									
Punto			1	2			3	4	4	4	5
Recipiente	N°	1	5	6	9	12	18	3x	70	B2	367
Masa del recipiente (g)	m_1	30,03	29,87	29,93	29,85	30,71	31,02	30,90	29,68	30,25	30,04
Mas a del recipiente + suelo húmedo (g)	m_2	168,04	143,52	172,59	188,09	148,01	135,90	143,50	145,89	138,16	131,45
Mas a del recipiente + suelo seco (g)	m_3	156,94	134,73	158,35	172,48	133,60	123,10	127,86	129,48	119,83	114,23
Contenido de agua (%)	$\frac{m_2 - m_3}{m_3 - m_1} x 100$	8,75	8,38	11,09	10,94	14,01	13,90	16,13	16,44	20,46	20,45
Contenido de agua promedio	ω (%)	8	5,56	11,0)2	13,95		16,29		20,	,46
Determinación de las d	ensidades										
Punto			1	3		4	ļ.	į	5	6	5
Masa del molde (g)	m_4	6	671	667	71	66	71	66	71	66	71
Mas a del molde + suelo húmedo (g)	m_5	10	0681	109	32	11	151	110	031	109	953
Masa del suelo húmedo (g)	$m_{5}_{-}m_{4}$	4	010	426	51	44	80	43	60	42	82
Densidad húmeda (g/cm3)	$\rho t = \frac{m_5 - 4}{V}$	1,	,753	1,80	52	1,9	958	1,9	906	1,8	372
Densidad seca (g/cm3)	$\rho d = \frac{\rho t}{1 + (\frac{\omega}{100})}$	1	,61	1,6	8	1,	72	1,	64	1,:	55
Saturación (g/cm3)	$\rho sat = \frac{Pw}{\frac{1}{Gs} + w}$	2,	,180	2,00	59	1,9	951	1,8	366	1,7	731
Observaciones:											

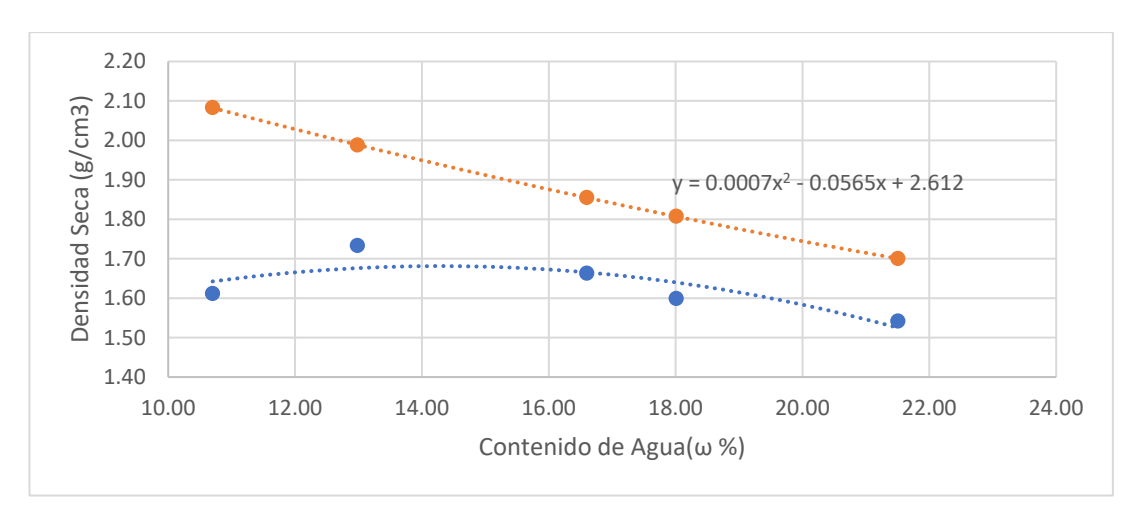


Anexo 9: Ensayo Proctor Modificado del Suelo estabilizado con 4% de cemento.

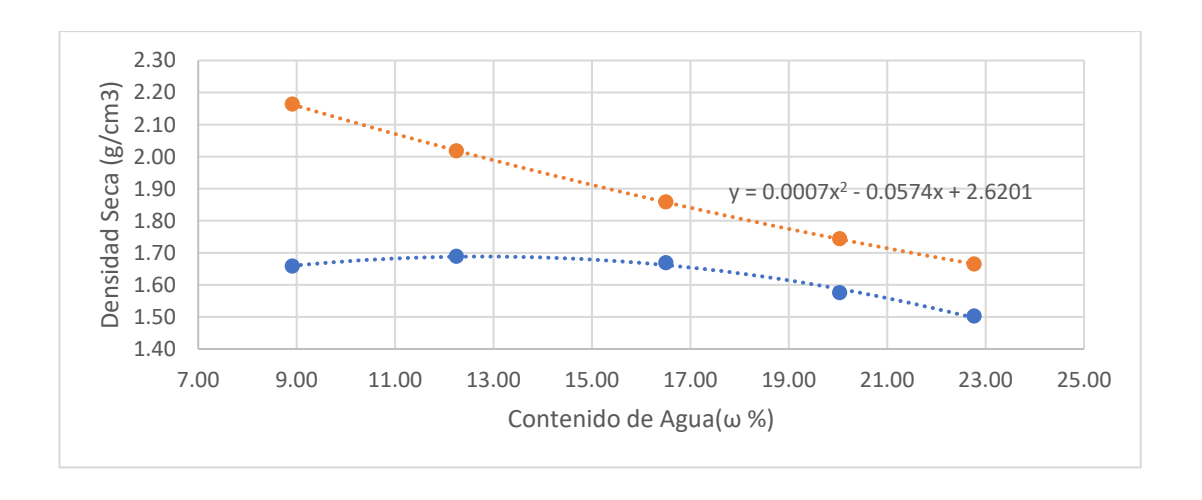
	FIC	CHA DE	LABOR	ATORIO							
	UN	IVERSI	DAD DE	L AZUAY	7					γς	
PRÁCTI	ICA DE LABO	RATOR	RIO DE N	MECÁNIC	A DE S	UELOS	N°5			U	,
ENSAYO	O DE COMPA	CTACIO	ÓN TIPO) PROCT	OR MO	DIFICA	DO				
Realizado por: Lisse	th Alvarado y	Diana P	ortilla								
Grupo: Muestra 1- E	stabilización 4	.%			Fecha:	03/08/20)20				
Localización del sue	elo: Mina Musi	mus, Cho	ordeleg,	Azuay	·						
Descripción de la m	uestra: Muest	ra mixta	sin grun	nos							
V. del molde (cm3):	2288	Peso de	l martil	lo: 44,5N	N°	de capas	s: 5	N° de g	olpes /c	apa : 56	
Determinación de lo	s contenidos d	le agua								_	
Punto	ı		1	2		3	3		4	4	5
Recipiento	e N°	12	77	4	5	7	10	81	52	14	18
Masa del recipiente (g)	m_1	30,70	30,76	30,65	29,87	29,93	29,88	30,14	30,19	30,84	31,02
Mas a del recipiente + suelo húmedo (g)	m_2	178,65	163,52	151,21	151,11	182,58	178,89	144,71	147,61	191,63	169,0
Masa del recipiente + suelo seco (g)	m_3	168,39	154,43	140,05	139,70	163,62	161,61	127,07	129,00	164,28	145,3
Contenido de agua	$\frac{m_2 - m_3}{m_3 - m_1} x 100$	7,45	7,35	10,20	10,39	14,18	13,12	18,20	18,83	20,50	20,70
Contenido de agua promedio	ω(%)	7,	40	10,2	29	13,65		18,52		20.	,60
Determinación de la	s densidades										
Punto	ı	1	1	3		4	1	!	5	6	5
Mas a del molde (g)	m_4	66	71	667	71	66	71	66	571	66	71
Mas a del molde + suelo húmedo (g)	m_5	100	671	109	28	112	202	11	126	109	932
Masa del suelo húmedo (g)	$m_{5}_{-}m_{4}$	40	00	425	57	45	31	44	155	42	61
Densidad húmeda (g/cm3)	$\rho t = \frac{m_5 - 4}{V}$	1,7	748	1,86	61	1,9	980	1,9	947	1,8	362
Densidad seca (g/cm3)	$\rho d = \frac{\rho t}{1 + (\frac{\omega}{100})}$	1,	63	1,6	9	1,	74	1,	64	1,:	54
Saturación (g/cm3)	$\rho sat = \frac{Pw}{\frac{1}{Gs} + w}$	2,2	236	2,10	00	1,9	062	1,7	791	1,7	27



	FIC	HA DE	 LABOR	ATORIO							
				L AZUAY	7				/	OC	
PRÁCT	ICA DE LABO					UELOS	N°5				,
ENSAY	O DE COMPA	CTACIO	ÓN TIPO) PROCT	OR MO	DIFICA	DO				
Realizado por: Lisse									I		
Grupo: Muestra 2- F	Estabilización 4	%			Fecha:	03/08/20)20				
Localización del sue	e lo : Mina Musı	mus, Cho	ordeleg,	Azuay							
Descripción de la m	uestra: Muest	ra mixta	sin grun	nos							
V. del molde (cm3):	2288	Peso de	l martil	lo: 44,5N	N°	de capa	s: 5	N° de g	olpes /c	apa : 56	
Determinación de lo	os contenidos d	e agua									
Punto)		1	2			3		4		5
Recipient	e N°	4	5	6	10	7	77	A2	B2	2	11
Mas a del recipiente (g)	m_1	30,63	29,87	29,92	29,89	29,89	30,73	30,73	30,23	29,46	30,52
Masa del recipiente + suelo húmedo (g)	m_2	133,08	156,92	153,30	159,57	122,48	149,28	155,96	127,01	173,46	191,08
Mas a del recipiente + suelo seco (g)	m_3	122,92	144,96	139,28	144,50	109,05	132,72	137,08	112,06	148,01	162,62
Contenido de agua	$\frac{m_2-m_3}{m_3-m_1}x100$	11,01	10,39	12,82	13,15	16,97	16,24	17,75	18,27	21,47	21,54
Contenido de agua promedio	ω (%)	10	,70	12,9	98	16	,60	18	,01	21,	,51
Determinación de la	ns densidades										
Punto)	1	1	3		4	1		5	6	
Mas a del molde (g)	m_4	66	71	667	71	66	571	66	571	66	71
Mas a del molde + suelo húmedo (g)	m_5	10	753	111	51	11	108	10	988	109	957
Mas a del suelo húmedo (g)	$m_{5}_{-}m_{4}$	40	82	448	30	44	37	43	317	42	86
Densidad húmeda (g/cm3)	$\rho t = \frac{m_5 - 4}{V}$	1,7	784	1,95	58	1,9	939	1,8	387	1,8	373
Densidad seca (g/cm3)	$\rho d = \frac{\rho t}{1 + (\frac{\omega}{100})}$	1,	61	1,7	3	1,	66	1,	60	1,:	54
Saturación (g/cm3)	$\rho sat = \frac{Pw}{\frac{1}{Gs} + w}$	2,0	083	1,98	38	1,8	355	1,8	808	1,7	700
Observaciones:											

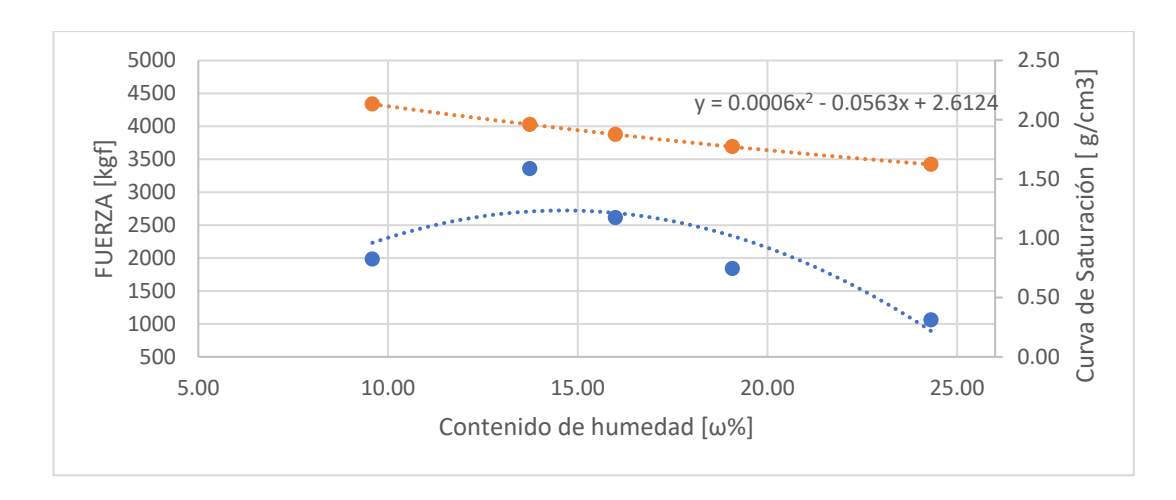


FICHA DE LABORATORIO UNIVERSIDAD DEL AZUAY PRÁCTICA DE LABORATORIO DE MECÁNICA DE SUELOS Nº5 ENSAYO DE COMPACTACIÓN TIPO PROCTOR MODIFICADO Realizado por: Lisseth Alvarado y Diana Portilla Grupo: Muestra 3- Estabilización 4% Fecha: 03/08/2020 Localización del suelo: Mina Musmus, Chordeleg, Azuay Descripción de la muestra: Muestra mixta sin grumos V. del molde (cm3): 2288 Peso del martillo: 44,5N Nº de capas: 5 Nº de golpes /capa: 56 Determinación de los contenidos de agua **Punto** Recipiente Nº 114 39 78 29 13 27 5 11 Mas a del 30,67 30,27 30,71 31,51 30,92 30,25 30,15 31,00 30,04 30,01 m_1 recipiente (g) Mas a del recipiente + suelo m_2 182,73 208,41 164,85 170,00 160,52 162,31 146,96 156,06 167,79 162,58 húmedo (g) Mas a del m_3 recipiente + suelo 170,73 193,31 150,05 155,06 142,39 143,37 127,56 135,08 142,10 | 138,13 seco (g) Contenido de agua $\frac{m_2 - m_3}{m_3 - m_1} \chi 100$ 8,57 9,26 12,40 12,09 16,26 16,74 19,92 20,16 22,93 22,61 (%) Contenido de agua ω(%) promedio 8,91 12,25 16,50 20,04 22,77 Determinación de las densidades Punto 1 3 4 5 6 Mas a del molde (g) 6671 6671 6671 6671 6671 m_4 Mas a del molde + m_5 10803 11008 11119 10997 10891 suelo húmedo (g) Masa del suelo $m_{5} - m_{4}$ 4132 4337 4448 4326 4220 húmedo (g) Densidad húmeda 1,806 1,896 1,944 1,891 1,844 (g/cm3)Densidad seca 1,50 1,66 1,69 1,67 1,58 (g/cm3)2,163 2,018 1,858 1,744 1,664 Saturación (g/cm3) Observaciones:



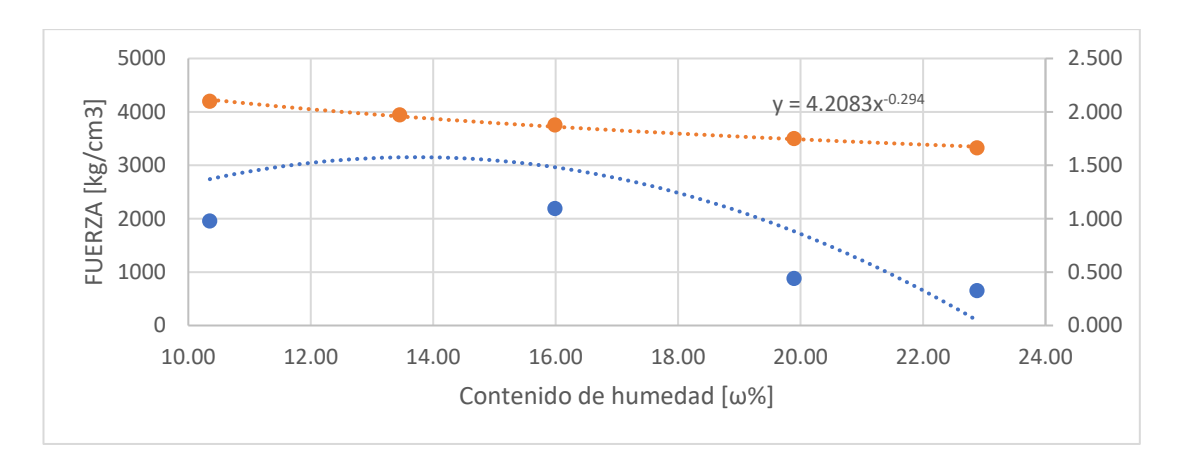
Anexo 10: Ensayo de Compresión Simple del suelo natural.

			FICH	A DE LA	RORATO	ORIO											
	FICHA DE LABORATORIO UNIVERSIDAD DEL AZUAY																
		E			PRESIÓ		LE										
Realizado por: Lisso	eth Alvarado y	Diana Poi	rtilla														
Grupo: Muestra 1 - S	Suelo Natural							Fecha: 1	5/09/202	0							
Localización del su	elo: Mina Mus	mus, cant	on Chord	eleg, Azu	ay												
Descripción de la m	nuestra:																
V. del molde [cm3]:	2216	,269	Peso de	l martill	o [N]: 44	,5	Nº de caj	pas: 5			Nº de golpes /capa: 56						
Determinación de	los contenidos	de agua	ı														
Punto)		150ml			300ml			450ml			600ml		750ml			
Recipiente N°		1	6	7	9	10	11	56	3	5	a2	27	18	4	33	81	
Masa del recipiente (g) Masa del	m_1	30,31	30,96	29,91	30,23	30,1	30,68	30,14	30,78	29,99	30,76	30,48	31,01	30,64	30,94	30,09	
recipiente + suelo húmedo (g) Masa del	m_2	149,35	175,19	186,16	158,39	154,92	171,32	118,69	111,04	113,35	137,32	159,54	172,08	129,47	210,99	163,09	
Masa del recipiente + suelo seco (g)	m_3	139,32	162,32	172,26	142,74	139,23	155,22	107,07	99,44	101,86	120,87	138,53	149,03	110,69	175,74	136,37	
Contenido de agua (%)	$\frac{m_2-m_3}{m_3-m_1}x100$	9,20	9,80	9,76	13,91	14,38	12,93	15,10	16,89	15,99	18,26	19,44	19,53	23,46	24,34	25,14	
Contenido de agua promedio ω (%) 9,59					13,74 16,00						19,08 24,32						
Determinación de	las densidades	3															
Punto		1		2			3			4			5				
Masa del molde (g)	m_4	6671			6672			6673			6674			6675			
Masa del molde + suelo húmedo (g)	m_5	10748			11190			11126			11053			11007			
Masa del suelo húmedo (g)	$m_{5}_{-}m_{4}$	4077			4518			4453			4379			4332			
Densidad húmeda (g/cm3)	$\rho t = \frac{m_5 - m_4}{V}$		1,84		2,04			2,01			1,98			1,95			
Densidad seca (g/cm3)	$\rho d = \frac{\rho t}{1 + (\frac{\omega}{100})}$		1,84		2,04			2,01			1,98			1,95			
Grado de Saturación (g/cm3)	$psav = \frac{Pw}{\omega + 1/Gs}$	2,13			1,96 1,88						1,77		1,62				
Determinación de	la Compresión	ı Simple	:														
Punto		1			2			3			4			5			
Masa del cilindro secado 7 días (g)	m_6	3963			4299			4202			4091			3875			
Fuerza aplicada para llegar a la rotura (kgf)	F	1982			3356			2612			1840			1059			
qu (kgf/cm2)	$P = \frac{F}{A}$	10,05			17,01 13,24						9,33		5,37				
Observaciones:																	



Anexo 11: Compresión simple del suelo estabilizado con 2% de cemento.

			FICHA	DE LAB	ORATO	RIO														
	UNIVERSIDAD DEL AZUAY																			
		E	NSAYO D	ЕСОМР	RESIÓN	SIMPLE														
Realizado por: L	isseth Alvarado y	Diana Porti	lla																	
Grupo: Muestra 1	- Suelo Natural co	n 2% de cer	nento					Fecha: 1	7/09/202	0										
Localización del	suelo: Mina Mus	mus, canton	Chordeleg.	, Azuay																
Descripción de la	a muestra:																			
V. del molde [cm	3]:	2216,269		Peso del	martillo [N]: 44,5			Nº de ca	pas: 5			N° de golpes /capa: 56								
Determinación d	le los contenidos	de agua																		
Pui	150ml			300ml				450ml			600ml									
Recipie	nte Nº	4	10	70	2	11	28	78	114	8	13	51	61	311	29	210				
Masa del recipiente (g) Masa del	m_1	30,69	29,89	29,68	29,49	30,54	30,2	31,5	30,26	30,66	30,32	29,9	30,85	31,77	30,92	31,76				
recipiente + suelo húmedo	m_2	158,86	163,84	146,19	142,77	149,4	141,83	168,69	165,47	158,07	128,97	150,66	158,57	156,23	155,98	174,44				
Masa del recipiente + suelo seco (g)	m_3	146,43	151,12	135,77	129,35	134,57	129,28	149,72	146,48	140,89	112,34	129,84	138,56	133,55	133,11	146,84				
Contenido de agua (%)	$\frac{m_2-m_3}{m_3-m_1}x100$	10,74	10,49	9,82	13,44	14,26	12,67	16,05	16,34	15,59	20,28	20,83	18,58	22,28	22,38	23,98				
Contenido de agua promedio						13,45		15,99				19,90			22,88					
Determinación d	le las densidades	5																		
Punto		1			2			3			4			5						
Masa del molde (g)	m_4		6671		6672			6673			6674			6675						
Masa del molde + suelo húmedo (g)	m_5	10897			11231			11116			10980			10930						
Masa del suelo húmedo (g)	$m_{5}_{-}m_{4}$	4226			4559			4443			4306			4255						
Densidad húmeda (g/cm3)	$pt = \frac{m_5 - m_4}{V}$	1,91			2,06			2,00			1,94			1,92						
Densidad seca (g/cm3)	$pd = \frac{\rho t}{1 + (\frac{\omega}{100})}$		1,73		1,81			1,73			1,62			1,56						
Grado de Saturación (g/cm3)	$av = \frac{Pw}{\omega + 1/Gs}$	2,10			1,97				1,88		1,75			1,66						
Determinación d	le la Compresión	n Simple																		
Punto 1					2			3			4			5						
Masa del cilindro secado	m_6	4068			4381			4141			4016			3882						
7 días (g) Fuerza aplicada para que se rompa el cilindro (kg/cm2)	F	1953			5046			2186			876			651						
qu (kgf/cm2)	$P = \frac{F}{A}$	9,90			25,57 11,08					4,44			3,30							
Observaciones:																				



Anexo 12: Compresión simple suelo estabilizado con 4% de cemento.

Allexo 12.	- 0111p1 • 511		p.c														
	FICHA DE LABORATORIO																
				ERSIDA													
				DECOM	IPRESIÓ	N SIMP	LE										
Realizado por: Li																	
Grupo: Muestra 1	- Suelo Natural co	n 4% de	cemento					Fecha: 1	9/09/202	0							
Localización del s		mus, cant	on Chord	eleg, Azua	ıy												
Descripción de la																	
V. del molde [cm3			5,269	Peso del	martillo	[N]: 44	.5	Nº de ca	pas: 5				N° de go	lpes /cap	oa: 56		
Determinación de																	
Punto		150ml			300ml				450ml	ı		600ml		750ml			
Recipies	nte Nº	27	1	13	9	12	k1	6	7	10	11	a2	18	311	51	28	
Masa del recipiente (g) Masa del	m_1	30,48	30,3	29,94	30,27	30,74	30,43	30,97	29,9	30,14	30,67	30,74	31,04	31,84	29,9	30,2	
recipiente + suelo húmedo	m_2	161,71	173,49	169,57	166,7	175,53	164,9	171,98	141,75	169	122,97	119,48	138,11	157,02	157,79	157,55	
Masa del recipiente + suelo seco (g)	m_3	150,16	160,11	157,14	150,67	158	149,86	154,47	126,27	151,61	110,73	106,08	123,53	132,56	135,03	134,89	
Contenido de agua (%)	$\frac{m_2-m_3}{m_3-m_1}x100$	9,65	10,31	9,77	13,31	13,77	12,59	14,18	16,06	14,32	15,29	17,79	15,76	24,29	21,65	21,64	
Contenido de agua promedio	ω (%)			13,23			14,85			16,28		22,53					
Determinación de	e las densidades	5															
Punto		1			2				3			4			5		
Masa del molde (g)	m_4	6671			6672			6673			6674			6675			
Masa del molde + suelo húmedo (g)	m_5	10779			11133			11095			10979			10918			
Masa del suelo húmedo (g)	$m_{5}_{-}m_{4}$	4108			4461			4422			4305			4243			
Densidad húmeda (g/cm3)	$\rho t = \frac{m_5 - m_4}{v}$		1,85		2,01			2,00			1,94			1,91			
Densidad seca (g/cm3) Grado de	$\rho d = \frac{\rho t}{1 + (\frac{\omega}{100})}$		1,69		1,78				1,74		1,67			1,56			
Saturación	$\rho sav = \frac{Pw}{\omega + 1/Gs}$		2,12		1,98				1,92			1,87		1,67			
Determinación de	e la Compresión	n Simple															
Punto		1			2			3			4			5			
Masa del cilindro secado 7 días (g)	m_6	3993			4334			4112			4076			3929			
días (g) Fuerza aplicada para que se rompa el cilindro	F	3285			6088			4262			2586			2067			
qu (kgf/cm2)	$P = \frac{F}{A}$	16,65				30,86		21,60				13,11			10,48		
Observaciones:			2														

